



F U N D A Ç Ã O  
GETULIO VARGAS

**EPGE**

Escola de Pós-Graduação  
em Economia

Ensaio Econômico

Escola de

Pós-Graduação

em Economia

da Fundação

Getúlio Vargas

Nº 383

ISSN 0104-8910

**Desesperança de Vida: Homicídio em Minas  
Gerais, Rio de Janeiro e São Paulo: 1981 a  
1997**

Marcos de Barros Lisboa, Mônica Viegas Andrade

Maio de 2000

URL: <http://hdl.handle.net/10438/988>

Os artigos publicados são de inteira responsabilidade de seus autores. As opiniões neles emitidas não exprimem, necessariamente, o ponto de vista da Fundação Getúlio Vargas.

#### ESCOLA DE PÓS-GRADUAÇÃO EM ECONOMIA

Diretor Geral: Renato Fragelli Cardoso

Diretor de Ensino: Luis Henrique Bertolino Braidó

Diretor de Pesquisa: João Victor Issler

Diretor de Publicações Científicas: Ricardo de Oliveira Cavalcanti

de Barros Lisboa, Marcos

Desesperança de Vida: Homicídio em Minas Gerais, Rio de Janeiro e São Paulo: 1981 a 1997/ Marcos de Barros Lisboa, Mônica Viegas Andrade - Rio de Janeiro : FGV,EPGE, 2010  
(Ensaio Econômico; 383)

Inclui bibliografia.

CDD-330

***Desesperança de Vida:  
Homicídio em Minas Gerais, Rio de Janeiro e São Paulo: 1981 a 1997<sup>1</sup>***

Mônica Viegas Andrade<sup>2</sup>

Marcos de Barros Lisboa<sup>3</sup>

**Resumo**

Esse trabalho tem como objetivo estudar o comportamento da taxa de homicídio na população masculina e sua relação com variáveis econômicas nos estados de Minas Gerais, Rio de Janeiro e São Paulo entre 1981 e 1997. Nossa abordagem se diferencia do tratamento usual da literatura pela construção de taxas de homicídio específicas para cada idade entre 15 e 40 anos. As variáveis econômicas apresentam coeficientes significativamente diferente de zero para a população entre 15 e 19 anos. Como esperado, um aumento do salário real e uma queda da desigualdade reduzem a taxa de homicídio. Surpreendentemente, uma queda do desemprego parece aumentar a taxa de homicídio. A maior parte dos coeficientes, porém, converge para zero com o aumento da idade, tornando-se não significativos a partir dos 20 anos. Além disso, identificamos a existência de inércia nas taxas de homicídio: gerações com maior taxa de homicídio quando jovens tendem a apresentar maiores taxas de homicídio durante todo o restante do seu ciclo de vida. Dessa forma, se as variáveis econômicas induzem uma alta taxa de homicídio entre os jovens em determinado ano, essa taxa tende a permanecer elevada para a geração durante seu ciclo de vida independente do comportamento posterior da economia. Utilizamos, nessa análise, uma reformulação do tradicional modelo Logit que incorpora a variável dependente defasada.

**Abstract**

This paper studies the male homicide rate and its relation to economic variables in the states of Minas Gerais, São Paulo e Rio de Janeiro between 1981 and 1997. The novelty of our approach is the construction of homicide rates specific for each age between 15 and 40 years old. The economic variables' coefficients are significantly different from zero for the population between 15 and 19 years old. As expected, an increase in real wage and a decrease in inequality reduce the rate of homicide. Surprisingly, a decrease in the unemployment rate seems to increase the rate of homicide. Most coefficients, however, converge to zero as a generation gets older, becoming non-significant for the population aged 20 years old or more. We also identify an inertia component in the homicide rate: generations with higher homicide rates when young also tend to have higher homicide rates over the remain of their life cycle. Therefore, if economic variables induce a high rate of homicide among young people in a certain year, this high rate tend to persist over the generation life cycle independently of the economy later behavior. Regressions are performed using a reformulation of the standard Logit model that incorporates a lagged dependent variable.

Palavras-chave: Homicídio, Crime e Economia.  
Código J.E.L.: K42, I12.

---

<sup>1</sup> Naércio Aquino e Carlos Martins comentaram com a generosidade habitual uma versão preliminar desse artigo. Infelizmente, somos os únicos responsáveis por qualquer erro remanescente.

<sup>2</sup> Escola de Pós-Graduação em Economia da Fundação Getúlio Vargas-EPGE/FGV/RJ e Departamento de Economia- Face/Cedeplar/UFMG.

<sup>3</sup> Escola de Pós-Graduação em Economia da Fundação Getúlio Vargas- EPGE/FGV/RJ.

## *I. Introdução*

Nos últimos vinte anos a violência cresceu assustadoramente nos estados do Rio de Janeiro e São Paulo, tornando-se, inclusive, a principal a causa de mortalidade para os homens entre 15 e 44 anos de idade. Em São Paulo, o número de homicídios por 100.000 habitantes passou de 54.4 em 1981 para 128.4 em 1995 no grupo dos homens jovens entre 15 e 24 anos e de 49.3 para 106.2 para os homens entre 25 e 44 anos de idade.<sup>4</sup> Esse aumento representa um crescimento de 136% e 115%, respectivamente. O Rio de Janeiro apresenta taxas de homicídio por 100.000 habitantes ainda maiores nesse período, embora o crescimento da violência não tenha sido tão elevado quanto o observado em São Paulo. Para os homens entre 15 e 24 anos, a taxa específica de mortalidade passa de 148.9 para 275.3 entre 1981 e 1995, significando um crescimento de 85%.

Em Andrade e Lisboa (2000) calculamos o número de anos de vida perdidos para diversas causas de mortalidade, que estima quantos anos, em média, um indivíduo viveria a mais caso cada causa de mortalidade não existisse. O resultado surpreendente é o crescimento relativo da violência como causa de mortalidade, contrastando com as demais causas que apresentam, na sua grande maioria, uma tendência de convergência aos índices dos países desenvolvidos, embora ainda estejam em níveis mais elevados. No começo da década de noventa, a violência aparece como a principal responsável pela perda de anos de vida para os homens no estado do Rio de Janeiro, e a segunda em São Paulo, sendo superada, apenas, pela mortalidade infantil. Entre 1981 e 1995, o número médio de anos de vida perdidos por cada homem residente no estado do Rio de Janeiro passou de 1.57 para 3.42. Isso significa que se o problema do homicídio fosse erradicado cada homem viveria em média 3.42 anos a mais. A importância dos homicídios na mortalidade entre os homens levou-nos a investigar, em maior detalhe, sua evolução ao longo do tempo e sua possível relação com fatores econômicos.

O objetivo desse trabalho é analisar a evolução da taxa de homicídio nos estados de Minas Gerais, Rio de Janeiro e São Paulo entre 1981 e 1997. Em particular, procuramos verificar a existência de relação entre essa evolução e variáveis econômicas

---

<sup>4</sup> Estes dados estão apresentados em Andrade e Lisboa (2000).

como salário real, desemprego, gini, entre outras. Em que medida a tendência de crescimento da taxa de homicídio está associada a crise econômica das décadas de oitenta e noventa? É possível identificar algum padrão recorrente nos dados de homicídio?

A relação entre variáveis econômicas e violência tem sido objeto de diversos trabalhos na literatura econômica aplicada que, muitas vezes, utiliza como medida da violência a taxa de homicídios por 100.000 habitantes. Essa mensuração, entretanto, não nos parece adequada por três motivos principais. Em primeiro lugar, a taxa de homicídio varia consideravelmente entre as idades e os sexos. Em geral, as principais vítimas de homicídios são os homens jovens, com idades entre 15 e 30 anos. Dessa forma, as taxas de homicídios por 100.000 habitantes podem variar significativamente entre regiões em decorrência apenas da diferença nas composições etária ou de sexo. Por exemplo, a frequência de mortes entre os homens com idade entre 15 e 24 anos foi cerca de três vezes maior em 1981 no Rio de Janeiro do que em São Paulo (149.8 e 54.4, respectivamente) enquanto a taxa de homicídio por 100.000 habitantes nesse mesmo período foi apenas duas vezes superior (30.64 e 15.31). Esse resultado reflete a maior idade média e maior participação das mulheres na população do estado do Rio de Janeiro em relação ao estado de São Paulo. Essa diferença de magnitude pode resultar em viés nas análises controladas da evolução da taxa de homicídio, tratando-se de um caso típico de omissão de variáveis.

Em segundo lugar, a relação entre homicídio e variáveis econômicas pode variar ao longo do ciclo de vida. Diversas atividades legais apresentam retornos crescentes com a especialização decorrente do seu exercício repetido. Mesmo que os retornos não sejam crescentes, a participação prévia do trabalhador no mercado de trabalho pode ser utilizada pelas empresas como um sinal sobre a sua qualidade ou produtividade. Além disso, o exercício de atividades ilegais no passado pode comprometer o acesso ao mercado de trabalho legal. Dessa forma, indivíduos com experiência no mercado legal de trabalho podem ter acesso a remunerações e empregos maiores do que os que exercem atividades ilegais, e essa diferença pode aumentar com o ciclo de vida.

É possível, portanto, que o impacto das variáveis econômicas sobre a parcela da população que se dedica a atividades ilegais seja diferenciado ao longo do ciclo de vida. Para um jovem, a diferença entre as atividades legais e ilegais pode ser menor do que

para um homem mais velho que participa do mercado de trabalho legal. Nesse caso, as variáveis econômicas podem ter um impacto maior sobre os jovens do que sobre os mais velhos. Caso a frequência de homicídios aumente com a parcela da população envolvida com atividades ilegais, o impacto das variáveis econômicas sobre a taxa de homicídio será, igualmente, diferenciado ao longo do ciclo de vida.

Em terceiro lugar, o acesso diferenciado ao mercado de trabalho entre a população que participa do mercado legal de trabalho e a que participa de atividades ilegais pode resultar em efeitos geracionais sobre a taxa de homicídios (*efeito inércia*). Suponhamos, uma vez mais, que os homicídios cresçam com a parcela da população dedicada às atividades ilegais. Caso o retorno às atividades legais seja custoso, uma geração que quando jovem tem maior parcela dedicada às atividades ilegais tende a manter essa maior parcela ao longo de todo o ciclo de vida e, portanto, uma maior taxa de homicídio. Isto significa a possibilidade de existência de um efeito inércia dos homicídios em cada geração. Em particular, a taxa de homicídios em um ano pode ser elevada não por que as variáveis econômicas apresentam certo comportamento naquele ano, mas porque esse comportamento foi observado quando a geração era jovem, sendo seus efeitos diluídos ao longo do ciclo de vida da geração.

A eventual existência do efeito inércia pode ser testada desagregando-se os dados de homicídio por cada grupo etário distinto e acompanhando esses dados para cada geração por vários anos. A existência de auto-correlação na série de taxas de homicídio por geração, quando controlada pelas demais variáveis, é um indicador da possível existência desse efeito inércia. Nesse caso, a taxa de homicídio de uma dada geração em um certo ano seria uma das variáveis relevantes para prever a taxa da mesma geração no ano seguinte. Uma geração violenta quando jovem tenderia a apresentar maiores índices de violência por todo seu ciclo de vida.

Nesse trabalho, a violência é mensurada através da construção de frequências de morte por homicídio para cada idade, sexo, ano e região de residência. A frequência é construída a partir dos dados de homicídios divididos pela população residente em cada região condicionados na idade, sexo e ano. A construção dessa base de dados permite-nos estimar a relação entre probabilidade de morte por homicídio e ciclos econômicos para cada idade específica. Como o fenômeno da violência é concentrado na população masculina em idade ativa, calculamos a probabilidade de morte para os homens dos 15

aos 40 anos de idade. Além disso, esse tratamento dos dados permitiu-nos construir a base de dados segundo *coortes*.<sup>5</sup> Cada *coorte* foi definida pelo ano em que os homens têm 15 anos de idade.<sup>6</sup>

Existem basicamente três tipos de abordagem empírica que tentam explicar a relação de causalidade existente entre violência e condições sócio-econômicas: análises em *cross-sections*, em séries de tempo e trabalhos baseados em pesquisas de vitimização que acompanham o comportamento individual. Os resultados observados nestes três tipos de análises são bastante diferenciados, sobretudo no que se refere ao impacto do desemprego. Esses resultados são discutidos na quinta seção e comparados com os obtidos na nossa análise.<sup>7</sup>

Neste trabalho utilizamos um *mix* de *cross-section* com série de tempo já que acompanhamos os resultados de morte por homicídio para três estados brasileiros, Rio de Janeiro, São Paulo e Minas Gerais durante o período de 1981 a 1997 com dados anuais. A análise em séries de tempo é privilegiada por ser mais adequada para se estudar a relação entre ciclos econômicos e violência e nos permitir estudar o efeito inércia. De fato, uma das dificuldades com análises em *cross-section* é a possível ocorrência de correlações espúrias. A possibilidade de migração entre diversos estados sugere que o bem-estar para indivíduos semelhantes em regiões distintas deve ser igualmente semelhante, caso contrário os indivíduos poderiam simplesmente emigrar para a região com maior bem-estar. Por essa razão, regiões com maiores taxas de homicídio devem oferecer aos seus habitantes outras compensações de bem-estar tais como maiores salários reais ou melhor acesso a outros bens-públicos que não segurança. Nesse caso, a existência de correlação positiva em uma base de dados *cross-section*, por exemplo, entre salário real e violência pode não significar que aumentos do salário real aumente a violência, mas apenas que o custo de bem-estar decorrente da maior violência em uma região é compensado pelo maior salário real, evitando a ocorrência de migração. Inclusive, é possível que um aumento do salário real simultâneo nas diversas

---

<sup>5</sup> O conceito de *coorte* segue a definição proposta por Ryder (1965). Cada *coorte* é definida como um conjunto de indivíduos que experimentou os mesmos eventos dentro de um mesmo intervalo de tempo.

<sup>6</sup> Poucos trabalhos na literatura analisam os dados em *coorte* em função da dificuldade de disponibilidade de pesquisas deste tipo. Os trabalhos Tauchen e Witte (1994), Tauchen, Witte e Griesger (1994) e Steffensmeir (1992) analisam dados em *coorte*.

<sup>7</sup> Freeman (1994) faz uma síntese dos resultados encontrados para a economia americana nos três tipos de abordagem.

regiões tenha como consequência a redução da violência. A construção de uma base de dados em painel pode permitir observar flutuações concomitantes das possíveis variáveis explicativas da taxa de homicídio em todas as regiões, evitando a ocorrência de correlações espúrias. Esse ponto é retomado na quinta seção, quando comparamos nossos resultados com a literatura existente.

O método de estimação utilizado neste trabalho é uma generalização do método do Mínimo Qui-quadrado aplicado ao modelo Logit de Berckson.<sup>8</sup> Este método consiste da estimação de um modelo logístico para variáveis qualitativas quando os dados estão disponíveis na forma de frequências. No caso específico desse trabalho os dados estão agrupados segundo a idade, região de residência e ano de ocorrência do homicídio. A variável dependente é a probabilidade de morte por homicídio em cada idade, região e ano, obtida através dos dados do sistema de informações sobre mortalidade disponibilizados pelo Datasus. Como variáveis independentes utilizamos indicadores sócio-econômicos de cada região e atributos específicos da geração.

Para estudar a possibilidade do efeito inércia utilizamos como variável independente em cada ano a taxa de homicídio da mesma geração no ano anterior. Esse tratamento implica, porém, na alteração da fórmula da variância do tradicional modelo de Berckson e requer uma correção distinta da heterocedasticidade. O método e o modelo estimado estão apresentados em detalhes na seção metodológica.

O trabalho apresenta basicamente três resultados principais. Em primeiro lugar, a organização dos dados segundo as coortes dos indivíduos parece ser um tratamento bastante adequado no entendimento dos ciclos de violência. A observação da evolução da probabilidade de morte segundo as coortes descrita nos gráficos 1, 2, 3 e 4 dá robustez à hipótese de persistência do ciclo de violência. O padrão de comportamento entre as coortes é praticamente o mesmo: a probabilidade de morte é crescente com a idade atingindo, na grande maioria, o pico na faixa dos 20 aos 25 anos, quando inverte o movimento e se torna decrescente com a idade<sup>9</sup>. O ciclo de cada coorte é de aproximadamente 25 anos. Este resultado é pronunciado com maior nitidez no Rio de

---

<sup>8</sup> Ver Maddala (1983) e Amemya (1985).

<sup>9</sup> A relação entre taxa de participação no crime e idade é levantada por vários autores e parece ser robusta para qualquer tipo de crime. Grogger (1997) justifica esse padrão através do comportamento dos salários que são crescentes com a idade à medida que os indivíduos adquirem maior experiência. Se o



Janeiro, mas o padrão se repete para os outros dois estados. Para o estado do Rio de Janeiro apresentamos dois gráficos. No primeiro, mostramos a evolução das coortes que tinham 15 anos em 1982, 1983 e 1984 respectivamente. Como a base de dados disponível só nos permite obter informações até o ano de 1997, o número máximo de anos que podemos acompanhar estas coortes é de 16 anos. No segundo gráfico, apresentamos as coortes que tinham 15 anos no período de 1972 a 1976, evidenciando o ritmo de decrescimento da probabilidade de morte com a idade. A construção dos dados em termos de probabilidade para cada idade parece sugerir que a taxa de homicídio em cada ano é a soma de ondas de violência que se superpõem, em que cada onda corresponde a uma geração específica .

O segundo resultado do trabalho se refere a relevância das variáveis econômicas para explicar a taxa de homicídio. As variáveis econômicas parecem ser relevantes para os jovens entre 15 e 19 anos. A partir dos 20 anos de idade, a variável mais importante para explicar a violência é o componente de inércia mensurado neste trabalho através da inclusão da probabilidade defasada. Este resultado difere dos trabalhos já existentes na literatura na medida em que incorpora o efeito coorte. A probabilidade defasada é a probabilidade de um indivíduo da mesma coorte ter sido assassinado no ano anterior.

Uma possível interpretação desse resultado relaciona, como já sugerimos, a idade da geração e a parcela dedicada às atividades ilegais. Indivíduos mais jovens se moveriam das atividades legais para as ilegais com maior facilidade do que os mais velhos, e esse movimento seria influenciado pelas variáveis econômicas. O aumento da população dedicada às atividades ilegais, por sua vez, resultaria em maiores taxas de homicídio. Dessa forma, uma geração que quando jovem apresente uma parcela elevada dedicada às atividades ilegais tende a manter essa parcela elevada durante todo o ciclo de vida e, portanto, uma maior taxa de homicídio. Essa hipótese, porém, ainda está por ser testada. Permanece como resultado da nossa análise, no entanto, que a política pública de segurança talvez deva focar na população jovem masculina e que o controle da taxa de homicídio nesse grupo tem impactos sobre a taxa de homicídio de toda a geração. Entretanto, os efeitos desta política só podem ser percebidos no longo prazo.

---

comportamento do crime é sensível aos salários, quando os salários se elevam a taxa de criminalidade cai, pois o custo de oportunidade da atividade criminosa se eleva.

Em terceiro lugar, a diferença entre as taxas de homicídio no Rio de Janeiro e São Paulo são significativamente reduzidas quando essas taxas são controladas pelo efeito inércia e pelas variáveis econômicas. Para a maioria das idades, a diferença não controlada das taxas de homicídio é cerca de duas vezes superior no Rio de Janeiro do que em São Paulo enquanto na maioria das regressões essa diferença cai para cerca de 20%.

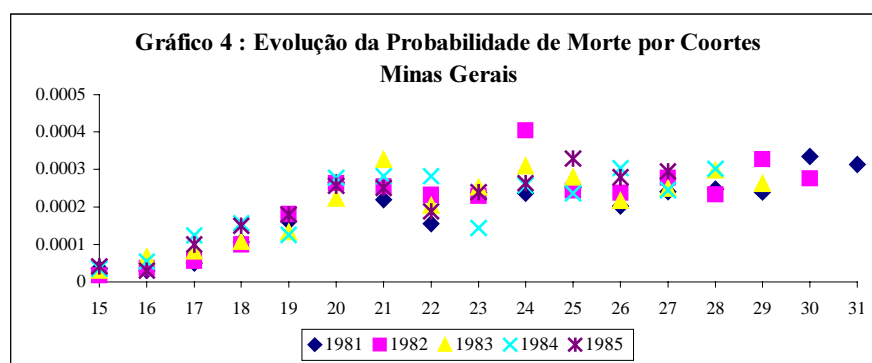
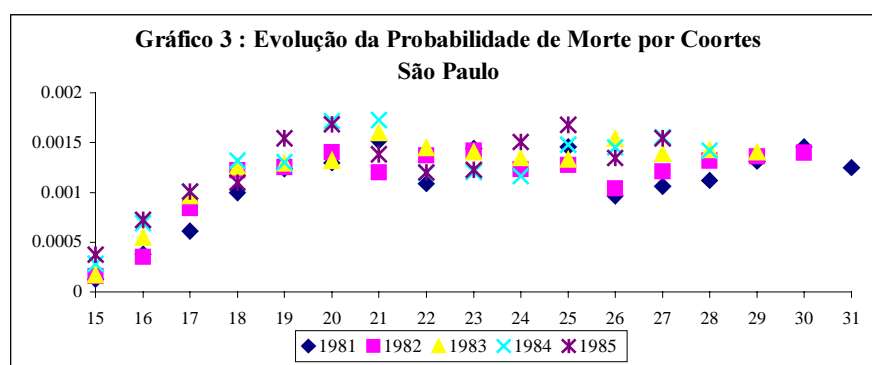
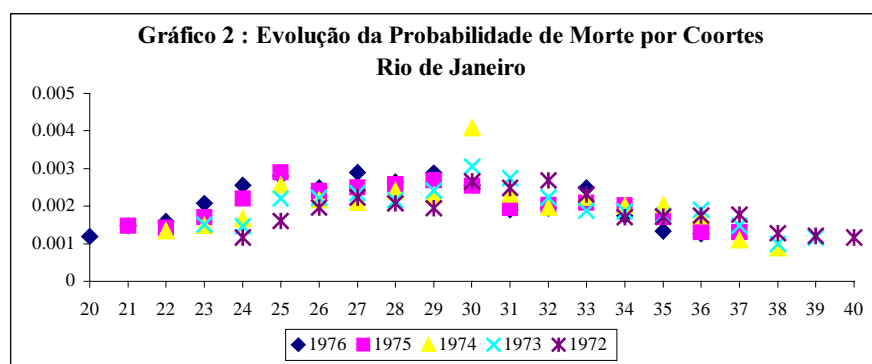
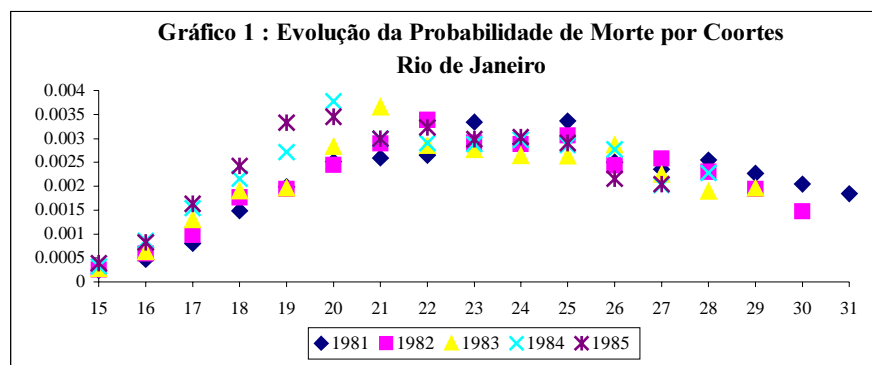
Provavelmente, a principal fragilidade da nossa análise é a não inclusão de uma variável como *proxy* para o sistema de punição e a política de segurança. Os únicos dados disponíveis para uma série contínua são as ocorrências policiais que são correlacionadas com a própria taxa de criminalidade.<sup>10</sup> Infelizmente, não conseguimos nenhuma base de dados confiável descrevendo o número de prisões por ano, gasto com segurança, ou qualquer outro indicador da atividade policial. A inexistência de base de dados minimamente confiáveis que descrevam algum aspecto da política de segurança talvez seja o principal problema com a análise empírica da violência no Brasil, além de refletir, do nosso ponto de vista, um aparente descaso do estado com qualquer política de segurança de longo prazo. Surpreendeu-nos, em particular, a inexistência, inclusive, de qualquer série temporal para o período analisado descrevendo o número de presos em cada um dos três estados.

Nossos resultados parecem sugerir, porém, que as eventuais diferenças nas políticas de segurança talvez não tenham um impacto significativo nas diferenças entre as taxas de homicídio observadas no Rio de Janeiro e em São Paulo quanto o sugerido pelos dados não controlados. Esses resultados, no entanto, devem ser tratados com cautela. Pode ser que a política de segurança esteja correlacionada com as variáveis econômicas dos estados, estados mais ricos teriam maiores recursos para a execução de uma melhor política de segurança. Além disso, as variáveis econômicas utilizadas não são específicas a cada coorte, mas sim a todas as coortes que vivem na mesma região em cada ano. Dessa forma, nossos resultados devem ser tratados como uma primeira abordagem, ainda preliminar e que deve ser objeto de estudos adicionais, sobre o dramático aumento das mortes por homicídios durante as décadas de oitenta e noventa.

---

<sup>10</sup> Em versão preliminar tentamos incluir variáveis dummy associadas às eleições como aproximações para o sistema de segurança de cada governo, entretanto o número de observações nas bases por idade não é suficiente para se estimar com significância os coeficientes.

Este trabalho contém cinco seções adicionais. A próxima seção descreve a base de dados utilizada e as principais variáveis incluídas no modelo. A terceira seção discute a metodologia utilizada. Na quarta seção apresentamos os principais resultados encontrados na estimação do modelo. Na quinta seção discutimos alguns resultados existentes na literatura e algumas estimações feitas para o caso brasileiro confrontando-os com os resultados empíricos encontrados neste trabalho. A sexta seção discute possíveis extensões desse trabalho.



## *II. A Construção da Base de Dados*

### *II.1 Séries utilizadas*

Nesse trabalho, a variável utilizada para mensurar a taxa de criminalidade é a frequência de mortes por homicídio. Para cada ano e região dividimos o total de homicídios para cada idade pela população masculina residente com a mesma idade. Os dados de população foram obtidos a partir dos censos de 1980 e 1991 e a contagem de 1996. Para os demais anos, estimamos a população utilizando uma interpolação log-linear.

A base de dados utilizada para os dados de mortalidade foi o *Sistema de Informação de Mortalidade, SIM*, disponibilizado pelo Ministério da Saúde através da Fundação Nacional de Saúde e do Datasus para o período de 1979 a 1997.<sup>11</sup> A fonte de informação primária desta base são os atestados de óbito emitidos pelos cartórios civis. Esta base é extremamente rica contendo informações sobre a data do óbito, idade, sexo, estado civil, local de ocorrência, causa de mortalidade, área, bairro e município de residência, ocupação e instrução. Apesar da enorme gama de informações, esta base apresenta problemas sérios de preenchimento de algumas variáveis como educação, estado civil, ocupação, entre outras, que dificultam o seu uso. Neste trabalho utilizamos apenas as variáveis consideradas prioritárias pelo Ministério da Saúde, idade, sexo e causa de mortalidade, nas quais o índice de não preenchimento chega em média a 7%. A causa de mortalidade está codificada até 1996 segundo a 9ª *Classificação Internacional de Doenças*, CID9, e em 1997 através da 10ª revisão, CID10.

Nos estados de São Paulo e Minas Gerais, o número de homicídios foi contabilizado utilizando-se as frequências observadas. No estado do Rio de Janeiro, no entanto, para computar o número de homicídios duas causas de mortalidade foram consideradas: o grupo homicídios e lesões provocadas intencionalmente e algumas das causas classificadas como outras violências. O Rio de Janeiro apresenta um elevado número de mortes ocasionadas por arma de fogo ou branca porém classificadas como de intencionalidade ignorada. Enquanto essas mortes em São Paulo, por exemplo, jamais atingem 7% da mortalidade por homicídio dos homens entre 15 e 24 anos, no Rio de

Janeiro em alguns anos esse número chega a 37%, apresentando, no entanto, um comportamento bastante errático.<sup>12</sup> Esses resultados sugerem um problema com as bases de dados de atestado de óbito neste estado.<sup>13</sup> Para contornar esta dificuldade utilizamos o seguinte ajuste nos dados de homicídios. Em cada ano, e para cada idade, calculamos a percentagem das mortes provocadas por armas e de intencionalidade ignorada sobre o total dos homicídios em São Paulo. Essa percentagem foi então utilizada para recalcular o total dos homicídios no Rio de Janeiro para o mesmo ano e idade. A hipótese básica para esse procedimento é que as mortes provocadas por armas de fogo ou branca porém não intencionais, ou difíceis de serem classificadas como intencionais, devem ser semelhantes nas diversas regiões. Esta padronização está detalhada no apêndice contendo a descrição das variáveis utilizadas.

A escolha por analisar os estados de São Paulo, Minas Gerais e Rio de Janeiro se deve a dois motivos: em primeiro lugar, como já mencionado na introdução, pela integração do mercado de trabalho destes três estados, e em segundo lugar, pelos menores índices de subenumeração de óbitos. Nas regiões norte e nordeste, por exemplo, os índices de subenumeração estimados pelo IBGE alcançam o percentual de 50% em alguns estados.

A mensuração da taxa de criminalidade através da probabilidade de morte a cada idade permitiu-nos construir a base de dados de duas formas. No primeiro caso construímos uma base para cada idade e em cada estado, dos 15 aos 40 anos que corresponde à faixa etária onde a violência é a principal causa de mortalidade. As bases de dados para cada idade específica contém em média 42 células. Com isso obtemos 25 bases de dados e podemos estimar coeficientes específicos para cada idade.

A segunda base de dados foi construída acompanhando os indivíduos segundo sua coorte, que é definida pelo ano em que os indivíduos tinham 15 anos. A primeira coorte corresponde aos indivíduos que tinham 15 anos em 1981. A primeira observação desta coorte é a probabilidade de morte por homicídios dos homens de 15 anos em 81, a segunda observação é a probabilidade de morte dos homens que tinham 16 anos em 82, a terceira a probabilidade dos que tinham 17 anos em 83 e assim sucessivamente até a

---

<sup>11</sup> Apesar dos dados de mortalidade estarem disponíveis a partir de 1979, os dois anos iniciais da pesquisa apresentam muitos problemas de tabulação dos dados.

<sup>12</sup> Para a série temporal desses dados, ver Andrade e Lisboa (2000).

probabilidade de morte dos homens aos 31 anos em 1997. A segunda coorte corresponde aos homens com 15 anos em 1982 e assim sucessivamente. Desse modo foram construídas 43 coortes para cada estado, contabilizando 1410 células. A organização das observações segundo coortes nos permitiu perceber o efeito inércia do ciclo de violência. Ademais, a probabilidade defasada foi construída incorporando o efeito coorte, já que constitui-se da probabilidade de um indivíduo da mesma coorte ter morrido no ano anterior. Os gráficos 1 a 4 ilustram com clareza a superposição dos ciclos de violência. Cada nova coorte tem um pequeno deslocamento de modo que toda a geração se diferencia da anterior.

Vale ressaltar o *trade-off* existente na construção dessas duas bases de dados. Por um lado, as bases a cada idade permitem inferir o impacto diferenciado das diversas variáveis independentes na probabilidade de homicídio. Em particular, podemos verificar em que medida esses coeficientes mudam significativamente com a idade. Essa abordagem, porém, reduz o número de células. A base de dados completa, embora nos permita obter resultados com maior grau de significância, requer a especificação de uma forma funcional prévia relacionando os diversos coeficientes das variáveis independentes com a idade da geração.<sup>14</sup>

As variáveis de controle utilizadas tentam na medida do possível incorporar as variáveis discutidas na literatura sobre economia do crime, que segue a contribuição de Becker (1968). Em decorrência do mau preenchimento dos dados, não podemos utilizar as variáveis dos próprios indivíduos contidas na base de dados de mortalidade, caso contrário incorreríamos em viés de seleção amostral. Diante disso, utilizamos as variáveis médias para cada região em cada ano.

As seguintes variáveis de controle foram testadas: nível de escolaridade média da população economicamente ativa, coeficiente de gini, taxa de desemprego, número de domicílios chefiados por mulheres, salário real médio da população ocupada, nível de preços, a probabilidade defasada e duas variáveis *dummy*, uma para o estado do Rio

---

<sup>13</sup> Esse problema é bem conhecido na literatura. Ver, por exemplo, Carneiro e Phebo (1999).

<sup>14</sup> Uma extensão possível desse trabalho seria utilizar uma abordagem não paramétrica para estimar essa forma funcional.

de Janeiro e outra para o estado de São Paulo.<sup>15</sup> Estas variáveis são os controles usualmente utilizados nos trabalhos empíricos. O nível de escolaridade e o salário real seriam medidas dos retornos da atividade legal; a taxa de desemprego se associa a uma medida das oportunidades dos indivíduos no mercado de trabalho; a taxa de domicílios chefiados por mulheres é uma aproximação do grau de integração social e das mudanças sociais. O índice de desigualdade da renda descreve a posição relativa dos indivíduos. Um aumento da desigualdade, para os indivíduos mais pobres, faz com que a distância entre o retorno da atividade legal e da atividade do crime se eleve. Todas essas variáveis são condicionadas no ano e na região.

A taxa de inflação foi incluída para captar possíveis distorções dos preços relativos decorrentes do processo inflacionário vivido nestas duas décadas que alterem os retornos das atividades, além das possíveis implicações decorrentes da maior volatilidade da renda real em períodos de inflação elevada. Ao contrário das demais variáveis, a taxa de inflação é condicionada apenas no ano, sendo comum às três regiões.

As *dummies* para os estados do Rio e São Paulo foram incluídas para verificar a existência de especificidade regionais não tratadas pelas demais variáveis de controle.

A probabilidade defasada busca captar o efeito inércia.<sup>16</sup> Essa probabilidade é condicionada à geração e à região. Em cada ano, utilizamos como uma das variáveis de controle a frequência de homicídios da mesma geração no ano anterior. Considere, por exemplo, a geração que tinha 15 anos em 1985 no Rio de Janeiro. Assim, em 1990, quando estes indivíduos terão 20 anos, a probabilidade defasada corresponde à probabilidade de morte por homicídio dos homens que tinham 15 anos no Rio de Janeiro em 1989.

Devemos ressaltar que, lamentavelmente, como já discutimos na introdução, não utilizamos qualquer indicador das políticas de segurança, que podem ter impacto na criminalidade e que talvez sejam distintas nos diversos estados e ao longo do período. Não conseguimos encontrar qualquer base de dados confiável descrevendo o número de

---

<sup>15</sup> Os dados de probabilidade defasada foram construídos também por coortes. Witt e Witt (1998) mostram em um modelo de série de tempo que o aumento da participação feminina no mercado de trabalho está positivamente correlacionado com taxas de criminalidade mais elevadas.

<sup>16</sup> Fanzylber, Loayza e Lenderman (1998) também utilizam como controle a taxa de criminalidade defasada.



prisões efetuadas em cada ano e região ou, mesmo, o total de presos existentes. O único dado disponível que encontramos foi o total de ocorrências, que é correlacionado com a própria atividade criminal e, portanto, não serve como indicador da política de segurança.

## *II.2 Comportamento das variáveis*

As frequências de homicídio não controladas apresentam um comportamento distinto nos estados do Rio de Janeiro e São Paulo em comparação com o estado de Minas Gerais. Nos dois primeiros, as frequências apresentam um comportamento relativamente similar nas diversas idades. No estado do Rio de Janeiro este comportamento é bastante nítido. Todas as idades, exceto 35 anos, apresentam um movimento ascendente da probabilidade de morte até o ano de 1989, quando ocorre o pico, seguido de uma longa inflexão dos anos 90 até 93, pequena elevação em 94 e tendência de queda a partir de 1995. No caso da probabilidade aos 35 anos o movimento ascendente se inicia em 1989.

Em São Paulo o movimento é menos homogêneo, apresentando um padrão distinto para os grupos mais jovens. As probabilidades de 15, 18 e 21 anos apresentam movimento similar: elevação até o ano de 87, queda em 1988, novo ciclo ascendente em 90 e 91, redução nos anos de 92 e 93 e tendência de elevação a partir de 1994. As idades de 25 e 30 anos apresentam elevação até o ano de 1983 seguida de estabilidade das taxas até 1986, pequena elevação em 1987, redução novamente em 88, novo ciclo ascendente em 89 e 90, retração de 91 a 93 e tendência de elevação a partir de 1994. A comparação entre os dois estados sugere um comportamento mais cíclico no estado de São Paulo e tendência de elevação da violência no final dos anos 90, contrária ao estado do Rio de Janeiro onde para todas as idades o comportamento da probabilidade parece indicar tendência decrescente.

O estado de Minas Gerais apresenta frequências de homicídio bastante inferiores às dos outros dois estados. Além disso, não parece existir um padrão comum de

comportamento das frequências não controladas para as diversas idades ao longo do tempo.

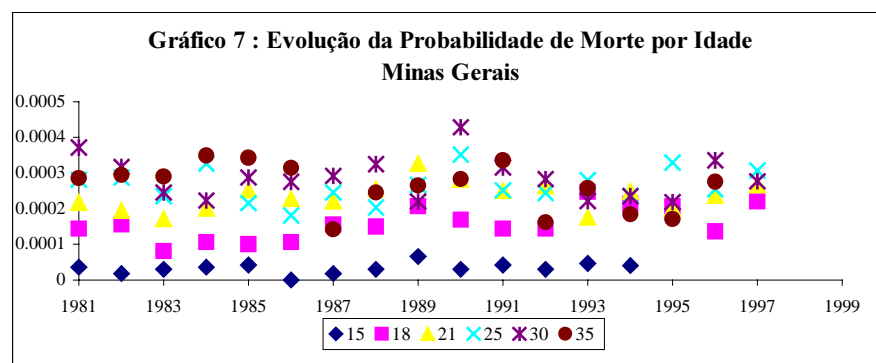
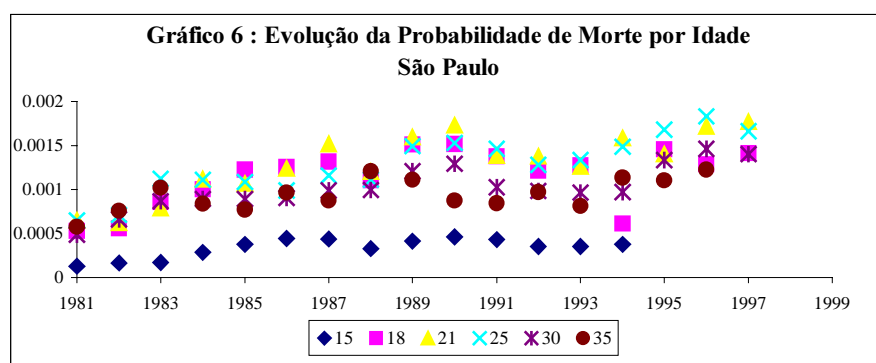
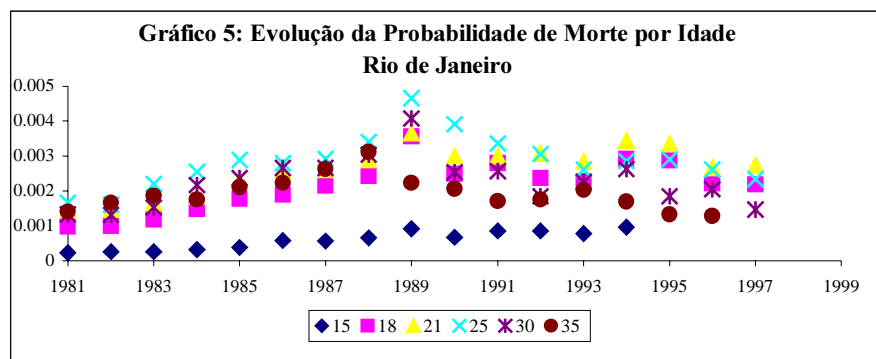
A evolução das variáveis associadas aos indivíduos, nível de escolaridade média e percentual de domicílios chefiados por mulheres, apresentam comportamento linear crescente ao longo das duas décadas e praticamente homogêneo entre as três regiões estudadas.<sup>17</sup> No Brasil, a escolaridade média da população economicamente ativa apresentou elevação aproximada de um ano de estudo a cada década. Em decorrência deste comportamento praticamente constante ao longo do tempo, estas variáveis apresentam correlação significativa com qualquer variável de tendência.<sup>18</sup> O mesmo padrão de correlação é percebido para o coeficiente de Gini que apresenta pequena variância ao longo do tempo se diferenciando apenas no nível entre as regiões. Esse padrão torna essa variável extremamente correlacionada com as *dummies* de região.

As demais variáveis econômicas apresentam comportamento cíclico ao longo das duas décadas. A taxa de desemprego aumenta significativamente com a recessão iniciada em 1981, caindo, porém, em 82 e 83, quando ainda se observa uma retração do produto. O estado do Rio de Janeiro apresenta alterações significativamente menores do que São Paulo na taxa de desemprego em praticamente todo o período após 1986. Este comportamento provavelmente está associado à elevada participação do setor informal na economia. O comportamento do rendimento médio da população ocupada é bastante similar entre os três estados, parecendo refletir os ciclos do produto da economia brasileira: o salário real tem uma redução forte de 1981 a 1984, recupera-se a partir de 1985 e se eleva com o cruzado, em seguida torna-se estável, passando a decrescer a partir dos anos 90 até 1993 e a partir de 1994, novamente com o controle inflacionário, passa a apresentar tendência crescente. Todas as variáveis estão descritas no apêndice metodológico.

---

<sup>17</sup> Os gráficos destas variáveis estão apresentados no apêndice.

<sup>18</sup> A matriz de correlação de todas as variáveis está apresentada no apêndice de tabelas.



### III. Metodologia

#### III.1 Modelo Básico

O método de estimação utilizado neste trabalho é uma generalização do método Qui-quadrado aplicado ao modelo *Logit*, também denominado de Modelo de Berckson. Os modelos *Logit* são utilizados quando as variáveis dependentes são qualitativas, representadas por variáveis binárias, 1 se o evento ocorrer e 0 se o evento não ocorrer. Nesse modelo, supõe-se que a probabilidade de ocorrência do evento depende das variáveis independentes segundo a seguinte forma funcional:

$$P_i = P(y_i = 1) = \Lambda(X'\beta) = \frac{e^{x'\beta}}{1 + e^{x'\beta}}.$$

No caso de um modelo com múltiplas observações podemos aplicar o modelo *Logit* com variáveis agrupadas. Neste modelo para cada idade temos  $n_i$  observações que corresponde ao total de homens residentes em cada região de determinada idade e o evento “morrer de homicídio” ocorre para  $m_i$  observações segundo uma distribuição binomial.<sup>19</sup> Seja  $p_i$  a probabilidade de ocorrência de  $m_i$  eventos mortes por homicídio em  $n_i$  observações e  $\hat{p}_i$  a frequência observada em uma dada realização. Como usual, podemos escrever,

$$\begin{aligned} \text{Log} \frac{p_i}{(1-p_i)} &= \beta'x_i \\ \text{Log} \frac{\hat{p}_i}{(1-\hat{p}_i)} &= \beta'x_i + u_i \end{aligned} \quad (1)$$

onde  $u$  é uma variável aleatória com média 0. Desse modo,

$$u_i = \text{Log} \frac{\hat{p}_i}{(1-\hat{p}_i)} - \text{Log} \frac{p_i}{(1-p_i)}. \quad (2)$$

A única dificuldade com este modelo é que sob a hipótese de que as realizações da variável aleatória seguem uma distribuição binomial, a variância de  $u$  não é constante e o modelo é heterocedástico. Aplicando uma expansão de Taylor na função

---

<sup>19</sup> O agrupamento realizado vai além do simples cálculo da frequência observada de homicídios porque a probabilidade foi estimada segundo as técnicas demográficas adequadas.

$$\text{Log} \frac{\hat{p}_i}{1 - \hat{p}_i}$$

em torno de  $p_i$ , obtemos :

$$\log \frac{\hat{p}_i}{1 - \hat{p}_i} \cong \log \frac{p_i}{1 - p_i} + (\hat{p}_i - p_i) \left[ \frac{1}{p_i(1 - p_i)} \right] \quad (3).$$

Assim, temos:

$$\text{var}(u_i) = \left[ \frac{p_i(1 - p_i)}{n} \frac{1}{p_i^2(1 - p_i)^2} \right] = \frac{1}{n_i p_i(1 - p_i)}$$

que pode ser estimada por

$$\text{var}(u_i) = \frac{1}{n_i(\hat{p}_i(1 - \hat{p}_i))}.$$

A correção do modelo corresponde a uma estimação em mínimos quadrados em que se utiliza como fator de ponderação

$$w = \left( \frac{1}{\text{var}} \right)^{\frac{1}{2}}.$$

Como no modelo básico estimado incluímos a probabilidade defasada é necessário acrescentar um novo termo no cálculo da variância. A equação (3) deve ser rescrita da seguinte forma:

$$F^{-1}(p_{it}) = F^{-1}(\hat{p}_{it} + \varepsilon_t) \cong F^{-1}(\hat{p}_{it}) + \left[ \frac{dF^{-1}(\hat{p}_{it})}{d\hat{p}_{it}} \right] \varepsilon_t = F^{-1}(\hat{p}_{it}) + \frac{1}{f(\hat{p}_{it})} \varepsilon_t \quad (4)$$

Com a inclusão da probabilidade defasada o modelo passa a ser descrito por<sup>20</sup>:

$$F^{-1}(p_{it}) \cong \beta X'_i + \gamma \left[ \beta X'_{i-1} + \frac{1}{f_{i-1}(\hat{p}_{i-1})} \varepsilon_{i-1} \right] + \frac{\varepsilon_i}{f_i(\hat{p}_i)} \quad (5)$$

onde  $\gamma$  é o coeficiente da probabilidade defasada. Assim temos a seguinte equação para a variância:

$$\text{var} \left[ \gamma \frac{\varepsilon_{i-1}}{f_{i-1}(\hat{p}_{i-1})} + \frac{\varepsilon_i}{f_i(\hat{p}_i)} \right] =$$

---

<sup>20</sup> Suprimimos o sobrescrito  $i$  para não abusar da notação.

$$\begin{aligned}
&= \frac{\gamma^2}{f_{t-1}^2(\hat{p}_{t-1})} \text{var}[\varepsilon_{t-1}] + \frac{1}{f_t^2(\hat{p}_t)} \text{var}[\varepsilon_t] \\
&= \frac{\gamma^2}{f_{t-1}^2(\hat{p}_{t-1})} \frac{\hat{p}_{t-1}(1-\hat{p}_{t-1})}{n_{t-1}} + \frac{1}{f_t^2(\hat{p}_t)} \frac{\hat{p}_t(1-\hat{p}_t)}{n_t}
\end{aligned} \tag{6}$$

Como

$$f^2(\hat{p}_t) = \hat{p}_t^2 (1 - \hat{p}_t)^2$$

a fórmula final da variância é dada por:

$$\text{var} = \frac{\gamma^2}{\hat{p}_{t-1}(1-\hat{p}_{t-1})n_{t-1}} + \frac{1}{\hat{p}_t(1-\hat{p}_t)n_t} \tag{7}$$

O modelo é estimado em dois estágios: estimamos a variância e no segundo estágio estimam-se os coeficientes das variáveis explicativas. Uma simples generalização do argumento utilizado por Amemya (1985, p. 276-277) mostra que a distribuição do estimador corrigido pela variância converge para uma distribuição normal.

### III.2 Testes de Hipóteses

Neste trabalho utilizamos dois tipos de teste: o teste de especificação do modelo e o teste de robustez dos coeficientes. Os dois testes são baseados na mesma estatística, a soma do quadrado dos resíduos ponderados da regressão.

No teste de especificação classificamos os modelos segundo o ajuste das variáveis estimadas às variáveis observadas. Este teste segue o procedimento proposto por Li (1977). Denominando

$$F^{-1}(\hat{p}) = \hat{L} = \log \frac{\hat{p}_i}{1 - \hat{p}_i},$$

onde  $\hat{p}_i$  é a frequência observada, calcula-se a soma do quadrado dos desvios ponderada pela variância estimada do modelo, isto é:

$$\sum_{i=1}^T (\hat{L}_i - x' \beta_i) \sigma^{-2} (\hat{L}_i - x' \beta_i) = \chi^2.$$

Em seguida, para cada modelo dividimos o valor da estatística qui-quadrado obtida pelo número de graus de liberdade,  $\chi^2 / gl$ . O número de graus de liberdade corresponde a T-K, onde T é o número de células e K o número de parâmetros estimados. Para estabelecer a classificação dos modelos observamos os menores valores da estatística obtidos, que indicam um melhor ajustamento da especificação aos valores observados.

Para testar a significância das variáveis, implementamos o teste descrito em Amemiya (1985). Neste caso, calculamos a soma do quadrado dos resíduos ponderada pela variância estimada do modelo completo para os dois modelos, modelo completo e modelo restrito e verificamos se esta diferença é superior ao valor da estatística qui-quadrado. Isto é, definindo a soma do quadrado dos resíduos como

$$SQR = \sum_{i=1}^T (\hat{L}_i - x_i' \beta_i) \sigma_i^{-2} (\hat{L}_i - x_i' \beta_i),$$

não podemos rejeitar a significância da variáveis restritas desde que:

$$SQR_{\text{modelo completo}} - SQR_{\text{modelo restrito}} > \chi^2_q$$

onde q é o número de variáveis restritas.

### III.3 Modelos Estimados

Para cada base construída por idade foram rodadas 11 especificações diferentes incluindo as variáveis: desemprego, desemprego defasado, salário real, coeficiente de gini, dummies para os estados do Rio de Janeiro e São Paulo, ano, índice de preços e probabilidade defasada. Em função dos problemas de correlação existentes entre a escolaridade e taxa de domicílios chefiados por mulheres com as *dummies* de região e com a probabilidade defasada, essas variáveis não foram incluídas no modelo. Como mencionado anteriormente, essas variáveis apresentam comportamento crescente monotônico ao longo do tempo tendo portanto correlação forte com as variáveis de tendência e nível incorporadas no modelo. O coeficiente de Gini, embora também apresente elevada correlação principalmente com as dummies de região foi incluído em algumas especificações. O modelo com a taxa de desemprego passada foi incluído porque em algumas economias a relação entre violência e taxa de desemprego passada é diferente da relação verificada para a taxa de desemprego contemporânea. A tabela a seguir sistematiza os onze modelos estimados.

**Tabela 1: Especificação dos Modelos**

Modelo	Variáveis Incluídas
Modelo 1	Salário real + Desemprego + GINI
Modelo 2	Salário real + Desemprego + GINI + Prob (-1)
Modelo 3	Salário real + Desemprego + GINI + DummyRio + DummySp
Modelo 4	Salário real + Desemprego + GINI + DummyRio + DummySp + Prob(-1)
Modelo 5	Salário real + Desemprego + GINI + DummyRio + DummySp + Prob(-1) + Ano
Modelo 6	Salário real + Desemprego + $\mp$ DummySp + Prob(-1) + Ano
Modelo 7	Salário real + Desemprego + $\mp$ DummySp + Prob(-1)
Modelo 8	Salário real + Desemprego + $\mp$ DummySp + Prob(-1) + INPC
Modelo 9	Salário real + Desemprego(-1) + $\mp$ DummySp + Prob(-1)
Modelo 10	Salário real + Desemprego + GINI + DummyRio + DummySp + Prob(-1) + INPC
Modelo 11	Salário real *[(100-Des)/100] + GINI + DummyRio + DummySp + Prob(-1) + INPC



#### *IV. Resultados*

Das onze especificações propostas somente os modelos 1 e 3 se revelaram como pouco ajustados às frequências observadas (Tabela 1 do apêndice 1). Estes modelos se distinguem dos demais por não incluírem a probabilidade defasada, que sem dúvida parece ser a variável com maior poder de explicação. A estatística qui-quadrado apresenta para os demais modelos baixa sensibilidade às alterações nas variáveis, não permitindo a identificação de uma especificação dominante. Este comportamento provavelmente decorre da existência de multicolineariedade entre as variáveis dummy, gini, ano e probabilidade defasada, confirmada pelas alterações dos coeficientes quando retiramos uma destas variáveis da equação.<sup>21</sup>

Surpreendeu-nos o elevado grau de ajustamento dos modelos e a similitude do comportamento das variáveis econômicas sugerindo a robustez dos modelos, que pode ser percebida pelo valor da estatística qui-quadrado. Este ajustamento é relativamente melhor nas caudas da distribuição etária.

Para analisar o comportamento dos coeficientes, optamos por utilizar os modelos 07 e 10 como modelos básicos.<sup>22</sup> Os demais modelos, exceto as especificações 9 e 11, são variantes intermediárias desses dois modelos, diferenciando-se, com relação ao modelo 10, pela exclusão de algumas variáveis lineares. O modelo 07 se distingue do modelo 10 pela exclusão das variáveis gini e inpc. Como a variável gini apresenta correlação com as dummies regionais, optamos por considerar o modelo 07 como a especificação de controle da análise.

No que se refere às variáveis econômicas, o principal resultado encontrado é a evidência de que a consideração da variável idade é extremamente importante no entendimento da relação entre violência e ciclos econômicos. O comportamento das variáveis econômicas, salário real e desemprego, é bastante diferenciado tanto no sinal da relação quanto na intensidade (Ver Tabelas 7 e 10 no apêndice 2). Os resultados dos modelos regredidos evidenciam que para os homens mais jovens, 15 a 19 anos, as variáveis econômicas são importantes para explicar a violência. Para estas idades, o

---

<sup>21</sup> Tabelas 1 a 4 do apêndice 3, ítem 3.1 e tabelas 1 a 7, ítem 3.2.

<sup>22</sup> O teste de significância das variáveis foi feito apenas para estas duas especificações e estão apresentados na tabela 1 do apêndice.

salário real apresenta o sinal esperado, negativo, sugerindo que o aumento do salário reduz os homicídios na população mais jovem.

Entre 20 e 29 anos a importância do salário é praticamente nula. Após os 30 anos para algumas idades o coeficiente passa a ser positivo. Os testes de robustez sugerem que a variável salário é significativa para todas as bases no modelo de controle e significativa para os jovens de 15 a 17 anos, 21, 23 e algumas idades acima dos 30 anos no modelo onde incluímos o coeficiente de gini. Ou seja, a significância do salário real se altera quando introduzimos o coeficiente de gini, sugerindo correlação entre estas variáveis.

Dessa forma, o aumento do salário real tem como efeito reduzir a taxa de homicídio entre os jovens. Para os mais velhos, porém, é possível que o aumento da salário real aumente a sua chance de ser vítima de homicídio. Como já discutimos, uma possível explicação para esse fenômeno é que os mais jovens tendem a ser vítimas de homicídio quando participam de atividades ilegais e essa participação aumenta com a queda do salário real. Os mais velhos, por outro lado, tendem a ser vítimas da violência com o aumento do retorno do crime: dada a parcela da população dedicada às atividades ilegais, o aumento do salário real aumenta o retorno de certas atividades ilegais e muitas das vítimas dessas atividades são homens acima de 30 anos.

O desemprego apresenta comportamento bastante similar ao do salário, com coeficiente significativo e negativo para os jovens entre 15 e 20 anos. A partir dos 21 anos, o coeficiente do desemprego é praticamente zero e os testes de robustez sugerem que esta variável deixa de ser significativa tanto no modelo de controle quanto no modelo 10. O resultado surpreende pela relação negativa obtida entre taxa de desemprego e probabilidade de morte, contrária ao esperado. Segundo o modelo de economia de crime de Becker (1968), a relação entre desemprego e ciclos econômicos apresenta dois efeitos contrários: a redução do desemprego aumenta as oportunidades dos indivíduos no mercado de trabalho assim como o retorno esperado do crime. Entretanto, o último, é um efeito de segunda ordem e não esperávamos que dominasse a relação.

Este mesmo resultado aparece em diversos trabalhos em séries de tempo para a economia americana (Freeman, 1994) e diversos autores utilizam a taxa de desemprego defasada ao invés da taxa contemporânea. Os resultados encontrados nesse último caso,

entretanto, são semelhantes aos obtidos anteriormente (Modelo 9, Tabela 9 do apêndice 2). Três fenômenos podem estar ocorrendo: i) como mencionamos, o efeito de segunda ordem da variação do desemprego sobre a taxa de homicídio pode de fato estar dominando o efeito de primeira ordem; ii) a série utilizada pode ser reduzida, viesando os resultados, uma vez que temos apenas 17 anos, e em geral para a economia americana as séries de tempo têm em média 40 anos; iii) a elasticidade da taxa de desemprego pode ter se alterado ao longo da década, em decorrência, principalmente, do crescimento do setor informal. Estes resultados estão ilustrados nos gráficos 5 a 8 apresentados abaixo.

Os resultados encontrados para a probabilidade defasada confirmam a importância do efeito inércia para explicar a criminalidade principalmente a partir dos 20 anos. A probabilidade defasada é significativa e positiva para todas as idades, apresentando, inicialmente, um impacto crescente com a idade. A partir dos 30 anos este efeito volta a se reduzir. Tanto o teste de robustez como o teste de especificação revelam o poder explicativo da probabilidade defasada, que procura incorporar o efeito inércia: gerações que apresentam elevada taxa de homicídios quando jovens tendem a manter uma maior taxa por todo o seu ciclo de vida. Como as variáveis econômicas afetam a probabilidade de homicídios quando as gerações são jovens, e esse efeito é perpetuado por toda a geração através do efeito inércia, o impacto dessas variáveis é muito superior ao sugerido pela magnitude dos coeficientes.

Como discutimos na introdução, uma possível interpretação dos resultados relaciona a idade da geração à fração dedicada às atividades ilegais em cada ano. Suponhamos que seja custoso o retorno das pessoas dedicadas às atividades ilegais ao mercado legal de trabalho. Suponhamos, além disso, que a taxa de homicídio cresça com a fração da geração dedicada às atividades ilegais e que a mobilidade entre as atividades legais e ilegais se reduza com a idade: jovens deixam uma atividade legal por alguma ilegal com maior facilidade do que os mais velhos. Nesse caso, uma geração que quando jovem apresenta uma elevada fração dedicada à atividade ilegal, decorrente, por exemplo, de uma queda do salário real, tende a manter essa elevada fração ao longo de todo o ciclo de vida e, conseqüentemente, uma elevada taxa de homicídio ao longo desse mesmo ciclo.

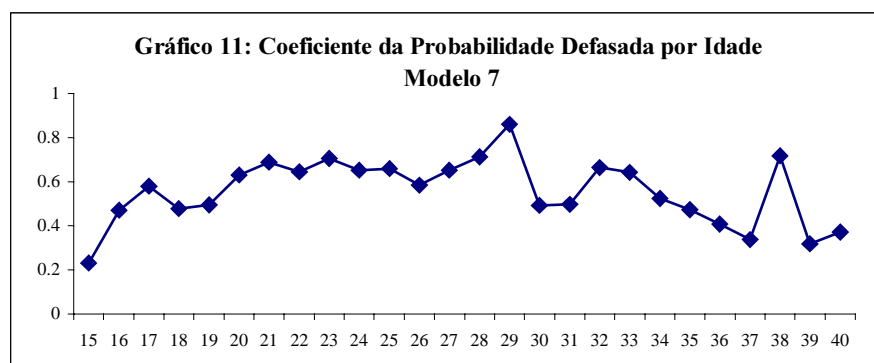
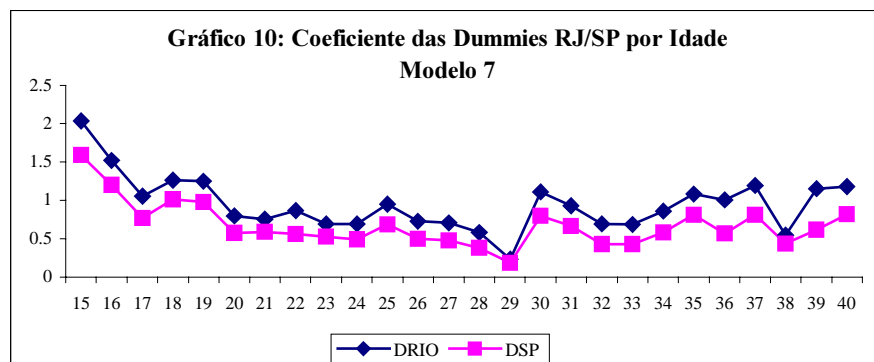
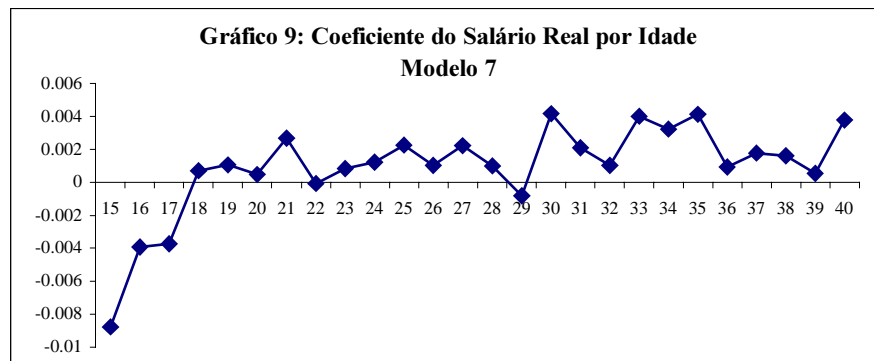
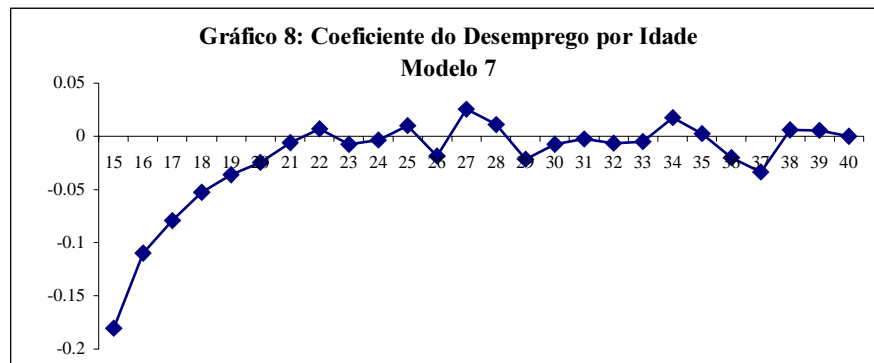
Independente da validade dessa interpretação, porém, permanece a evidência de que uma geração que quando jovem apresente elevadas taxas de homicídio tende a apresentar elevadas taxas durante todo o seu ciclo de vida, sugerindo a existência de uma persistência da violência específica a cada geração.

As *dummies* de região apresentam coeficiente positivo e significativo para todas as idades, indicando que as regiões do Rio de Janeiro e São Paulo apresentam taxas de homicídio significativamente superiores às do estado de Minas Gerais em praticamente todas as idades, mesmo quando controladas pelas variáveis econômicas utilizadas. Os coeficientes das *dummies* sugerem que esta diferença é mais importante para as idades mais jovens, 15 a 17 anos e vai perdendo importância com o crescimento da idade. Esse resultado é interessante porque o fenômeno da violência no estado de Minas Gerais ainda se encontra bem menos disseminado que nos outros dois estados e desse modo, os dados parecem sugerir, caso a nossa interpretação esteja correta, que os jovens em Minas Gerais ainda tentam ingressar inicialmente na atividade legal. A decisão de ir para a atividade do crime parece ser tomada em idades um pouco mais avançadas.

Surpreendeu-nos, no entanto, a significativa redução da diferença entre Rio de Janeiro e São Paulo quando os dados são controlados pela variáveis econômicas e pelo efeito inércia. Enquanto nos dados não controlados a diferença oscila em torno de 100%, nos dados controlados essa diferença cai para cerca de 20%. Isso apesar dos dados não controlarem por diferenças nas políticas de segurança, que talvez apresentem diferenças significativas em ambos os estados nesse período. Talvez essa diferença não seja tão significativa, ou ao menos seu impacto não o seja. Talvez, ainda, a política de segurança esteja correlacionada com as variáveis econômicas: estados mais ricos em certo período teriam maior acesso a instrumentos de segurança mais eficazes. O melhor entendimento dessas possibilidades requer, no entanto, o acesso a dados confiáveis sobre a política de segurança aos quais, no entanto, não tivemos acesso.

Tanto com a introdução da variável ano, como com a introdução do índice de preços, os coeficientes de todas as variáveis exceto a constante praticamente não se alteram (Tabelas 5 e 8 do apêndice 2). A introdução do coeficiente de gini no modelo também não altera de forma relevante os coeficientes das variáveis econômicas. O coeficiente que mais se modifica é o da *dummy* para o estado de São Paulo, resultado esperado uma vez que estas variáveis apresentam correlação positiva. O coeficiente de

gini apresenta sinal positivo e significativo para todas as idades, entretanto, não é possível distinguir com clareza os efeitos da desigualdade de renda e estado específicos. O que se nota nos dados é a evidência de que o estado do Rio de Janeiro é mais violento que o estado de São Paulo e os dois por sua vez mais violentos que o estado de Minas Gerais. Essas diferenças, entretanto, podem não ser unicamente creditadas à desigualdade de renda. Para captar este efeito com mais segurança seria necessário expandir o número de regiões de modo que a variabilidade da desigualdade de renda fosse ampliada.



## *V. Relação com a literatura sobre economia do crime*

Existe uma vasta literatura que procura estudar a relação entre variáveis econômicas e a taxa de criminalidade nos Estados Unidos. Na literatura brasileira, entretanto, a maior parte dos trabalhos concentra-se nas área de criminologia e aspectos sociais da criminalidade. Talvez, esse aspecto da literatura no Brasil deva-se, em parte, a pouca disponibilidade de base de dados confiáveis principalmente no que se refere a política de segurança.

A maior parte dos trabalhos da literatura econômica americana tem como arcabouço básico a teoria dos incentivos proposta inicialmente por Becker (1968) na qual a atividade do crime é considerada substituta da atividade legal.<sup>23</sup> Nesse modelo, a cada instante os indivíduos tomam uma decisão entre alocar seu tempo na atividade legal ou alocá-lo à atividade do crime. A escolha sobre em qual atividade se engajar depende do retorno líquido esperado nas duas oportunidades. No cálculo do retorno líquido esperado do crime, os indivíduos consideram tanto os ganhos e perdas materiais quanto a probabilidade de ser preso e condenado por cometer atividade criminosa, e os custos de reputação e acesso ao mercado de trabalho no longo prazo caso sejam condenados.

Recentemente, alguns autores tem tentado incorporar a idéia de *inércia ou persistência* dos ciclos de violência. No modelo construído por Sah (1991) o resultado de persistência da criminalidade decorre da endogenização da probabilidade de ser punido por ato criminoso. No arcabouço tradicional a probabilidade de ser punido é exógena, constante ao longo do tempo e idêntica entre os indivíduos. Ao decidir se participa ou não da atividade do crime, os indivíduos consideram a sua percepção individual da probabilidade de punição e não a probabilidade verdadeira. A *prior* dos indivíduos sobre a probabilidade de punição depende do comportamento das pessoas que estes indivíduos têm capacidade de observar a cada período, enquanto que a probabilidade verdadeira depende do nível de gastos realizados no sistema e da taxa de

---

<sup>23</sup> Tauchen, Helen and Witte Ann D. (1994) e Grogger (1997) utilizam um arcabouço um pouco diferenciado. No modelo proposto, a atividade do crime não é um substituto da atividade legal. Os indivíduos podem realizar as duas atividades conjuntamente. Nestes tipos de modelo a escolha do indivíduo não é entre se engajar ou não na atividade do crime, mas qual o tempo ótimo de alocação nesta atividade.

participação do crime. A cada período uma nova *coorte* passa a integrar o número total de pessoas que estão ativas decidindo se participam ou não do crime. A taxa de participação no crime no período *T* depende de todas as *coortes* ativas. Nesse sentido, à medida que os agentes envelhecem, o conjunto de informação se eleva, e a *prior* dos indivíduos tende a se aproximar do valor da probabilidade real.

Sah supõe que para dado nível de gastos do sistema existe um nível máximo de apreensões pela polícia, de forma que o aumento da criminalidade reduz a probabilidade real de ser punido, assim como influência a *prior* dos indivíduos e suas escolhas futuras. Desse modo, se a taxa de criminalidade passada for alta, a propensão do indivíduo ao crime no período corrente será mais elevada gerando o efeito de persistência da violência. O efeito das taxas de criminalidade passadas sobre a criminalidade corrente depende do tempo do ciclo ativo de cada *coorte*.<sup>24</sup>

Existem basicamente três tipos de abordagem empírica onde se busca entender a relação entre os incentivos econômicos e a taxa de criminalidade: os trabalhos em séries temporais, os trabalhos em *cross-sections* e os trabalhos baseados no comportamento individual. Os resultados encontrados nos três tipos de abordagem são bastante diferenciados. Freeman (1994) faz uma resenha dos principais resultados que são robustos para cada uma das três abordagens.

Nos trabalhos em séries de tempo, os resultados dependem do período em que foram estimados, da região, e de como a taxa de criminalidade é mensurada, não fornecendo uma regra única entre as relações econômicas e a atividade do crime. Entretanto, essa parece ser a base de dados mais adequada para se explicar como em determinada região geográfica a taxa de criminalidade responde às oscilações econômicas.

Os trabalhos em *cross-sections* usualmente utilizam dados de diversas localidades, sendo mais indicados para explicar a variância da taxa de criminalidade em diferentes regiões e não os seus determinantes. Neste tipo de abordagem, os resultados são bastante robustos e a taxa de criminalidade apresenta comportamento anti-cíclico. A

---

<sup>24</sup> Outro argumento da literatura que pode ser alçado para explicar a persistência dos ciclos de violência é o argumento da interação social proposto por Glaeser, Sacerdote e Scheinkman (1996). Estes autores estavam interessados em explicar a elevada variância das taxas de criminalidade ao longo do tempo e entre regiões não explicada pela variância das condições econômicas. Segundo estes autores, existe uma



relação entre desigualdade de renda e criminalidade também parece ser robusta neste tipo de análise. Fanzylber, Lederman e Loayza (1999) a partir de uma base de dados para 45 países encontram uma relação positiva entre níveis de desigualdade de renda, mensurados através do coeficiente de Gini, e taxa de homicídio intencional. A fragilidade deste tipo de análise é que os resultados podem estar, em alguma medida, associados a diferentes características da população não controladas nos experimentos gerando portanto correlação espúria entre as variáveis analisadas.

Os modelos com dados individuais são os que apresentam relação mais forte entre as variáveis econômicas e a decisão de participar do crime. Estas pesquisas, em geral realizadas em penitenciárias, não consideram todo o universo dos indivíduos se restringindo aos indivíduos que já se decidiram pela atividade do crime.

O elevado número de trabalhos reflete tanto a gravidade do problema da criminalidade sobretudo na economia americana, como também a dificuldade em lidar com o tema sob uma abordagem econômica. Entre as principais dificuldades citamos: 1) a não existência de uma medida dos retornos do crime que permita separar os efeitos de redução das oportunidades legais e os efeitos de elevação da probabilidade de ser punido e de aumento dos retornos do crime; 2) a não existência de medidas exatas de criminalidade dado o elevado número de sub-registros; 3) a dificuldade em se mensurar a probabilidade de ser punido, já que as variáveis usualmente utilizadas como gastos da polícia, número de policiais per capita e taxa de prisões, podem estar correlacionadas com o aumento da violência ou mesmo apresentar erros de mensuração. Um fato estilizado da literatura é a associação entre maiores retornos do crime a economias onde existe maior produção e comercialização de drogas. Em função da proliferação do uso de drogas, alguns autores (Freeman, 1994) defendem que os retornos do crime tem aumentado nas últimas duas décadas.

Os resultados de três trabalhos recentes para a economia americana vão ao encontro às evidências encontradas neste artigo. Grugger (1997) mostra que o comportamento dos homens jovens apresenta elevado grau de resposta aos incentivos econômicos e que portanto a queda do salário real nas duas últimas décadas é determinante importante da elevação da taxa de criminalidade. Tauchen and Witte

---

covariância positiva entre as decisões dos agentes em participar do crime e assim a variância do crime é

(1994), por outro lado, demonstram, que os jovens que alocam maior tempo no trabalho ou maior tempo na escola, apresentam menor probabilidade de participar do crime. Ambos estudos são realizados acompanhando durante o período de 7 anos uma coorte de homens nascida em 1945 na Pensilvânia. Freeman (1996) defende que a taxa de criminalidade têm aumentado em decorrência da redução das oportunidades de trabalho para os homens jovens menos qualificados. Segundo o autor, o retorno das atividades legais para os indivíduos menos qualificados se reduziram em contrapartida da elevação dos retornos do crime. Além disso, a elasticidade da oferta de trabalho às variações no salário é suficientemente elevada para aumentar a propensão à atividade do crime. Acrescente-se ainda o argumento de que a atividade do crime pode não ser necessariamente substituta da atividade legal podendo ser exercida conjuntamente pelos jovens para garantir elevação da renda.

Sobre o caso brasileiro, os resultados ainda parecem incertos. Carneiro e Phebo (1999) encontram resultados bastante distintos dos esperados. Os autores analisam a relação entre taxa de criminalidade, medida como homicídios por 100.000 habitantes nos municípios das regiões metropolitanas do Rio de Janeiro e São Paulo, e flutuações econômicas, através de um modelo em painel desbalanceado para quatro anos, estimado por mínimos quadrados ponderados. Os resultados indicam relação negativa entre desigualdade de renda e criminalidade e comportamento pró-cíclico da criminalidade.

Beato e Reis (1999) analisam a correlação entre taxa de criminalidade, medida de forma desagregada como crimes contra o patrimônio e crimes contra a pessoa, e desenvolvimento econômico nos municípios da região metropolitana de Belo Horizonte em um modelo *cross-section*.<sup>25</sup> A correlação encontrada depende da forma como a taxa de criminalidade é mensurada. O trabalho, no entanto, não procura controlar simultaneamente todas variáveis independentes, examinando apenas a correlação e dispersão entre cada par de variáveis.

Uma provável dificuldade comum aos dois trabalhos é a unidade de análise. A integração do mercado de trabalho nas regiões metropolitanas provavelmente impede que as flutuações econômicas sejam diferenciadas ao nível dos municípios que pode

---

um múltiplo da variância se os agentes tomassem as decisões de forma independente.

<sup>25</sup> Os autores utilizam como *proxies* para grau de desenvolvimento, o índice de desenvolvimento humano, a taxa de analfabetismo e taxa de mortalidade infantil.

resultar em uma correlação espúria, como discutimos na introdução. Suponhamos, por exemplo, que dois municípios próximos apresentem taxas de criminalidade significativamente distintas. Ora, o município com maior criminalidade, na ausência de migração, deve apresentar alguma compensação de bem-estar para os seus moradores, por exemplo maior salário real ou menor taxa de desemprego. Dessa forma, uma base de dados em *cross-section* que indique a existência de correlação positiva, por exemplo, entre salário real e criminalidade não significa que um aumento do salário real aumente a criminalidade. De fato, talvez exatamente o oposto seja verdadeiro: caso o salário real aumente em ambos os municípios a criminalidade pode cair sem contradizer a correlação obtida em *cross-section* que inclusive pode ser preservada ao novo salário real. O resultado obtido talvez apenas signifique que se um município apresenta maior criminalidade o bem-estar dos seus habitantes é compensado pelo maior salário real. Por essa razão, parece-nos importante considerar uma base de dados com série de tempo em que se observam flutuações concomitantes das variáveis econômicas em diversos períodos em todas as regiões.

Além disso, como discutimos na introdução, a utilização como base de dados das taxas de homicídios por 100.000 habitantes pode viesar os resultados em decorrência tanto da existência de composições de sexo e idade distintas nas regiões quanto da omissão da variável idade. Por essa razão, nesse trabalho construímos a base de dados calculando a frequência de morte por homicídio a cada idade em cada ano e região.

A construção dessa base de dados permitiu-nos considerar dois aspectos que nos parecem extremamente relevantes no entendimento dos ciclos de violência: incorporar o efeito inércia e estimar coeficientes específicos a cada idade. Ao incorporar o efeito inércia como específico à geração, a inércia dos ciclos de violência, já observada em outros trabalhos, ganha nova interpretação. O resultado mais robusto encontrado nesse artigo, se refere, precisamente, a importância da probabilidade defasada para explicar os ciclos de violência, obtida a partir da construção das frequências de homicídio por coortes. Os coeficientes estimados para a probabilidade defasada sugerem que os indivíduos tomam a decisão de entrar no crime dos 15 aos 20 anos e uma vez que decidam participar dessa atividade tendem a continuar na mesma. Foge do escopo deste trabalho explicar os determinantes desta inércia.

A estimação do modelo para cada idade permite-nos sugerir algumas relações entre os ciclos econômicos e os ciclos de violência. Os resultados encontrados evidenciam que as variáveis econômicas são relevantes para explicar a criminalidade até no máximo 20 anos de idade. Este resultado corrobora os trabalhos de Gruegger e Tauchen e Witte e parece ser extremamente importante do ponto de vista da intervenção pública. Os dados sugerem que políticas voltadas para a população masculina jovem pode reduzir a criminalidade no longo prazo. Entretanto, como o impacto dessas políticas são defasados ao longo do ciclo de vida, seus efeitos somente podem ser percebidas no longo prazo, o que talvez torne sua implementação menos atraente para os governantes.

Os resultados encontrados para a relação entre desigualdade de renda e violência, embora apresentem o sinal positivo e significativo, não são muito robustos. A enorme disparidade observada nos níveis de violência dos três estados pode, talvez em parte, ser explicada pela desigualdade de renda, mas este resultado pode estar associado a características estado-específicas relacionadas à política de segurança. Como já enfatizamos anteriormente, porém, a ausência de base de dados confiáveis inviabilizou uma extensão do trabalho para investigar essa relação.

## *VI. Agenda de Pesquisa*

Muito embora os resultados encontrados neste trabalho pareçam-nos robustos, a precariedade dos dados econômicos por corte e a falta de acesso a dados sobre a política de segurança enfraquece nossa confiança nos modelos testados. É possível apontar pelo menos três extensões deste trabalho:

- 1) Construir uma base de dados onde as variáveis econômicas reflitam as características de cada idade. Neste artigo as variáveis econômicas foram aproximadas pela média;
- 2) Inclusão de variáveis instrumentais para a política de segurança;
- 3) Ampliação do número de unidades da federação analisadas de forma a se obter uma maior dispersão maior desigualdade de renda e testar medidas alternativas de desigualdade.

Em princípio, as variáveis relevantes para a entrada em atividades ilegais devem ser condicionadas nas características individuais e não à média da população em cada região e ano. Uma desagregação interessante seria condicionar os dados de frequências de homicídios na escolaridade e características dos pais assim como condicionar as variáveis econômicas na idade e escolaridade. Infelizmente, porém, os dados disponibilizados pelo SIM apresentam problemas precisamente no preenchimento desses dados. Uma solução intermediária seria condicionar ao menos as variáveis econômicas por idade, além de região e ano.

No que se refere à política de segurança, algumas variáveis alternativas, como efetivo policial, poderiam ser tentadas como proxy do grau de comprometimento do estado como políticas punitivas ao crime. A política de segurança, porém, não se esgota na punição e nem mesmo é claro em que medida o efetivo policial descreve adequadamente esse comprometimento. Parece-nos caber, nesse aspecto, uma investigação mais cuidadosa de critérios e indicadores mais adequados da política de segurança.

Por fim, no que se refere ao peso da desigualdade na taxa de homicídio duas extensões parecem adequadas. Por um lado, aumentar o número de unidades da federação analisadas de modo a permitir diferenciar a desigualdade de outros aspectos regionais e, por outro, testar índices alternativos de desigualdade. A principal dificuldade com essa extensão está no elevado número de subnumeração de óbitos em diversos estados brasileiros, sobretudo nos estados do norte e nordeste.

## **VI. Referências Bibliográficas**

- Amemya, T. (1985):** *Advanced Econometrics*; Oxford, Basil Blackwell.
- Andrade, M. V. e M. B. Lisboa (2000):** “Alguns Fatos Estilizados sobre o setor saúde no Brasil” (mimeo), EPGE/FGV.
- Beato, C. e I. A. Reis (1999):** “Desigualdade, Desenvolvimento Sócio Econômico e Crime”; Mimeo. Texto apresentado no seminário *Desigualdade e Pobreza no Brasil*, promovido pelo IPEA/RJ, Rio de Janeiro, agosto, 1999.
- Becker, G. (1968):** “Crime and Punishment: An Economic Approach”; *Journal of Political Economy*, **76(2)**:169-217.
- Carneiro, L.P. e L. Phebo (1999):** “Magnitude, Custos econômicos e Políticas de Controle da Violência no Rio de Janeiro”, Banco Interamericano de Desenvolvimento. Série *Documentos de Trabalho* R347.
- Fajnzylber, P.; D. Lederman e N. Loayza (1999):** “Inequality and Violent Crime”. Mimeo.
- Fajnzylber, P; D. Lederman e N. Loayza (199?):** “Determinants of Crime rates in Latin America and the World” *World Bank, Latin American and Caribbean Studies, Viewpoint Series*.
- Freeman, R. B. (1994):** “Crime and the Job Market”; National Bureau of Economic Research, *Working Paper 4910*. Cambridge, March.
- Freeman, R. B. (1996):** “Why do so many young American men commit crimes and what might we do about it?” National Bureau of Economic Research, *Working Paper 5451*. Cambridge, February.
- Fundação Seade (1993):** Anuário Estatístico do Estado de São Paulo.
- Governo do Estado do Rio de Janeiro (1997):** Anuário Estatístico do Estado do Rio de Janeiro; Secretaria de Estado e Planejamento.
- Glaeser, E.; B. Sacerdote e J. Scheinkman (1996):** “Crime and Social Interactions”; *Quarterly Journal of Economics*, **111(2)**.
- Grogger, J. (1997):** “Market Wages and Youth Crime”; National Bureau of Economic Research, *Working Paper 5893*. Cambridge, March.
- Instituto Brasileiro de Geografia e Estatística:** Censo Demográfico, 1980 e 1991.
- Instituto Brasileiro de Geografia e Estatística (1996):** Contagem Populacional; Cd-rom.
- Li, M. (1977):** “A Logit Model of Homeownership”; *Econometrica*, **45(5)**.

- Maddala, G.S. (1983):** *Limited Dependent and Qualitative Variables Econometrics*; New York, Cambridge University Press.
- Ministério da Saúde (1997):** *Sistema de Informação sobre Mortalidade 1979 – 1997. Dados de Declaração de óbito*; CD-ROM.
- Ministério da Previdência e Assistência Social (1990):** *Nona Classificação Internacional de Doenças*.
- Ryder, N. B. (1965):** “The Cohort as a concept in the study of Social Change”; *American Sociological Review*, December, **30(6)**.
- Sah, R. K. (1991):** “Social Osmosis and Patterns of Crime”; *Journal of Political Economy*, **99(6)**.
- Tauchen, H. e A. Witte (1994):** “Work and Crime: An Exploration using Panel Data”; National Bureau of Economic Research, *Working Paper 4794*, Cambridge.
- Shryock, A.S. e Siegel, J.S. (1973):** *The Methods and Materials of Demography*; U.S. Bureau of Census. Second Printing, Washington D.C.



## Apêndice 1: Teste de Especificação

**Tabela 1**

Modelo	Equação	BASE 15			BASE 16			BASE 17		
		Qui-quad.	G.L.	Rank	Qui-quad.	G.L.	Rank	Qui-quad.	G.L.	Rank
Modelo 1	Salário real + Desemprego +	4E+10	35	(11)	2E+10	40	(11)	1E+10	44	(11)
Modelo 2	Salário real + Desemprego + + Prob (-1)	46	34	(1)	55	39	(1)	178	43	(9)
Modelo 3	Salário real + Desemprego + + DummyRio + DummySp	8E+09	33	(10)	6E+09	38	(10)	1E+09	42	(10)
Modelo 4	Salário real + Desemprego + + DummyRio + DummySp + Prob(-	54	32	(4)	71	37	(3)	76	41	(1)
Modelo 5	Salário real + Desemprego + + DummyRio + DummySp + Prob(-1) + Ano	45	31	(9)	73	36	(5)	79	40	(7)
Modelo 6	Salário real + Desemprego + + DummySp + Prob(-1) + Ano	47	32	(2)	88	37	(8)	81	41	(8)
Modelo 7	Salário real + Desemprego + + DummySp + Prob(-1)	57	33	(5)	88	38	(7)	78	42	(2)
Modelo 8	Salário real + Desemprego + + DummySp + Prob(-1) + INPC	56	32	(7)	82	37	(6)	78	41	(4)
Modelo 9	Salário real + Desemprego(-1) + + DummySp + Prob(-1)	75	33	(8)	99	38	(9)	81	42	(6)
Modelo 10	Salário real + Desemprego + + DummyRio + DummySp + Prob(-1) +	54	31	(6)	72	36	(4)	74	40	(3)
Modelo 11	Salário real * [(100-Des)/100] + + DummyRio + DummySp + Prob(-1) +	80	32	(9)	68	37	(2)	78	41	(5)

(Cont. da tabela 1)

Modelo	BASE 18			BASE 19			BASE 20			BASE 21			BASE 22		
	Qui-quad.	G.L.	Rank	Qui-quad.	G.L.	Rank	Qui-quad.	G.L.	Rank	Qui-quad.	G.L.	Rank	Qui-quad.	G.L.	Rank
Mod. 1	9E+09	47	(11)	7E+09	47	(11)	5E+09	47	(11)	6E+09	47	(11)	5E+09	47	(11)
Mod. 2	208	46	(1)	203	46	(3)	120	46	(1)	109	46	(1)	134	46	(4)
Mod. 3	2E+09	45	(10)	1E+09	45	(10)	6E+08	45	(10)	3E+03	45	(10)	4E+03	45	(10)
Mod. 4	218	44	(3)	215	44	(6)	134	44	(3)	113	44	(3)	128	44	(3)
Mod. 5	235	43	(8)	169	43	(1)	137	43	(5)	115	43	(8)	118	43	(1)
Mod. 6	263	44	(9)	184	44	(2)	160	44	(9)	121	44	(9)	139	44	(6)
Mod. 7	240	45	(5)	238	45	(8)	155	45	(8)	118	45	(5)	152	45	(7)
Mod. 8	239	44	(6)	236	44	(9)	149	44	(6)	115	44	(4)	150	44	(9)
Mod. 9	245	45	(7)	224	45	(7)	155	45	(7)	118	45	(6)	153	45	(8)
Mod. 10	217	43	(4)	208	43	(5)	133	43	(4)	113	43	(7)	125	43	(5)
Mod. 11	213	44	(2)	194	44	(4)	128	44	(2)	109	44	(2)	128	44	(2)

(Cont. da tabela 1)

Modelo	BASE 23			BASE 24			BASE 25			BASE 26			BASE 27		
	Qui-quad.	G.L.	Rank	Qui-quad.	G.L.	Rank	Qui-quad.	G.L.	Rank	Qui-quad.	G.L.	Rank	Qui-quad.	G.L.	Rank
Mod. 1	5E+09	47	(11)	4E+09	47	(11)	5E+09	47	(11)	4E+09	47	(11)	4E+09	47	(11)
Mod. 2	83	46	(5)	122	46	(1)	136	46	(5)	133	46	(1)	96	46	(4)
Mod. 3	6E+08	45	(10)	3E+03	45	(10)	4E+08	45	(10)	4E+08	45	(10)	4E+08	45	(10)
Mod. 4	74	44	(2)	129	44	(4)	115	44	(2)	144	44	(7)	84	44	(2)
Mod. 5	74	43	(4)	132	43	(5)	111	43	(1)	135	43	(5)	85	43	(3)
Mod. 6	95	44	(9)	158	44	(8)	164	44	(8)	131	44	(2)	111	44	(9)
Mod. 7	88	45	(7)	157	45	(7)	161	45	(7)	139	45	(3)	110	45	(8)
Mod. 8	84	44	(6)	149	44	(6)	151	44	(6)	139	44	(6)	96	44	(5)
Mod. 9	89	45	(8)	164	45	(9)	168	45	(9)	141	45	(4)	116	45	(1)
Mod. 10	74	43	(3)	128	43	(3)	115	43	(3)	142	43	(9)	81	43	(7)
Mod. 11	73	44	(1)	124	44	(2)	123	44	(4)	144	44	(8)	96	44	(6)

(Cont. da tabela 1)

Modelo	BASE 28			BASE 29			BASE 30			BASE 31			BASE 32		
	Qui-quad.	G.L.	Rank	Qui-quad.	G.L.	Rank	Qui-quad.	G.L.	Rank	Qui-quad.	G.L.	Rank	Qui-quad.	G.L.	Rank
Mod. 1	4E+09	47	(11)	4E+09	47	(11)	4E+09	47	(11)	4E+09	47	(11)	4E+09	47	(11)
Mod. 2	69	46	(1)	70	46	(1)	186	46	(2)	108	46	(9)	67	46	(1)
Mod. 3	4E+08	45	(10)	6E+08	45	(10)	3E+08	45	(10)	3E+08	45	(10)	7E+08	45	(10)
Mod. 4	85	44	(6)	83	44	(7)	195	44	(4)	90	44	(1)	75	44	(4)
Mod. 5	85	43	(8)	82	43	(5)	173	43	(1)	89	43	(2)	74	43	(6)
Mod. 6	85	44	(5)	82	44	(4)	227	44	(7)	94	44	(5)	80	44	(9)
Mod. 7	83	45	(2)	81	45	(2)	240	45	(9)	96	45	(6)	80	45	(7)
Mod. 8	82	44	(3)	83	44	(6)	223	44	(6)	94	44	(7)	75	44	(5)
Mod. 9	86	45	(4)	82	45	(3)	240	45	(8)	99	45	(8)	81	45	(8)
Mod. 10	84	43	(7)	83	43	(8)	195	43	(5)	90	43	(4)	72	43	(3)
Mod. 11	89	44	(9)	84	44	(9)	195	44	(3)	92	44	(3)	72	44	(2)

(Cont. da tabela 1)

Modelo	BASE 33			BASE 34			BASE 35			BASE 36			BASE 37		
	Qui-quad.	G.L.	Rank	Qui-quad.	G.L.	Rank	Qui-quad.	G.L.	Rank	Qui-quad.	G.L.	Rank	Qui-quad.	G.L.	Rank
Mod. 1	4E+09	47	(11)	3E+09	47	(11)	4E+09	44	(11)	3E+09	41	(11)	4E+09	37	(11)
Mod. 2	73	46	(1)	86	46	(8)	119	43	(1)	82	40	(1)	71	36	(4)
Mod. 3	3E+03	45	(10)	4E+03	45	(10)	7E+08	42	(10)	3E+08	39	(10)	4E+08	35	(10)
Mod. 4	90	44	(6)	74	44	(5)	124	41	(6)	86	38	(3)	68	34	(5)
Mod. 5	88	43	(5)	59	43	(1)	112	40	(2)	82	37	(2)	67	33	(6)
Mod. 6	98	44	(7)	70	44	(3)	126	41	(7)	87	38	(5)	71	34	(8)
Mod. 7	101	45	(9)	83	45	(7)	136	42	(9)	92	39	(8)	72	35	(7)
Mod. 8	89	44	(4)	70	44	(4)	119	41	(4)	92	38	(9)	63	34	(1)
Mod. 9	101	45	(8)	78	45	(6)	134	42	(8)	88	39	(4)	74	35	(9)
Mod. 10	86	43	(3)	67	43	(2)	116	40	(3)	86	37	(7)	63	33	(3)
Mod. 11	85	44	(2)	85	44	(9)	123	41	(5)	87	38	(6)	64	34	(2)

(Cont. da tabela 1)

Modelo	BASE 38			BASE 39			BASE 40		
	Qui-quad.	G.L.	Rank	Qui-quad.	G.L.	Rank	Qui-quad.	G.L.	Rank
Mod. 1	4E+09	35	(11)	3E+09	31	(11)	3E+09	29	(11)
Mod. 2	45	34	(1)	42	30	(5)	47	28	(1)
Mod. 3	6E+08	33	(10)	2E+08	29	(10)	3E+08	27	(10)
Mod. 4	54	32	(4)	37	28	(3)	53	26	(7)
Mod. 5	52	31	(2)	37	27	(4)	52	25	(8)
Mod. 6	54	32	(7)	55	28	(9)	52	26	(4)
Mod. 7	55	33	(8)	56	29	(7)	54	27	(3)
Mod. 8	54	32	(5)	45	28	(6)	53	26	(5)
Mod. 9	56	33	(9)	56	29	(8)	54	27	(2)
Mod. 10	53	31	(3)	35	27	(2)	52	25	(9)
Mod. 11	54	32	(6)	35	28	(1)	53	26	(6)

## Apêndice 2 : Regressões

Tabela 1: Modelo 1

Idade	Cte c(1)	Salreal c(2)	Des c(3)	GINI c(4)
15	7.93	-0.0044	-	-28.48
16	9.81	-0.0172	-0.129	-28.47
17	8.34	0.0030	-0.262	-27.69
18	8.18	0.0000	-0.185	-26.80
19	7.20	0.0049	-0.151	-26.10
20	5.69	0.0067	-0.123	-23.64
21	4.47	0.0046	-0.108	-21.29
22	4.55	0.0054	-0.066	-21.98
23	3.99	0.0133	-0.057	-22.60
24	3.29	0.0080	-0.088	-19.86
25	3.51	0.0029	-0.021	-19.87
26	1.24	0.0083	-0.020	-16.99
27	1.47	0.0102	-0.029	-17.64
28	0.89	0.0057	-0.033	-15.76
29	0.55	0.0098	-0.049	-15.83
30	1.68	0.0089	-0.046	-17.64
31	1.07	0.0087	-0.013	-16.94
32	1.15	0.0126	-0.008	-18.04
33	0.60	0.0075	-0.058	-15.66
34	0.78	0.0142	0.015	-17.96
35	1.40	0.0098	0.014	-18.08
36	-0.63	0.0142	0.009	-15.43
37	-0.56	0.0168	0.029	-16.40
38	0.51	0.0261	0.031	-20.32
39	-1.82	0.0040	0.030	-11.60
40	0.31	0.0194	-0.010	-18.13

Tabela 2 : Modelo 2

Idade	Cte c(1)	Salreal c(2)	Des c(3)	GINI c(4)	Prob(-1) c(5)
15	-0.99	-0.0015	-0.046	0.14	0.758
16	-0.99	0.0016	0.012	1.45	0.917
17	1.03	-0.0035	-0.085	-0.10	0.971
18	-1.47	0.0030	0.001	0.52	0.842
19	-1.63	0.0022	0.013	1.15	0.877
20	-1.44	0.0010	0.003	1.29	0.887
21	-0.97	0.0036	0.022	0.20	0.945
22	-1.73	0.0002	0.038	2.04	0.941
23	-0.64	0.0008	0.011	0.31	0.943
24	-1.52	0.0008	0.019	1.29	0.898
25	-0.94	0.0018	0.038	1.17	1.000
26	-1.24	0.0015	-0.015	-0.07	0.837
27	-1.60	0.0017	0.046	1.19	0.921
28	-0.55	0.0010	0.017	0.09	0.955
29	-0.05	-0.0012	-0.017	0.00	0.956
30	-1.31	0.0036	0.032	0.65	0.934
31	-1.14	0.0016	0.014	-0.29	0.855
32	-0.81	0.0007	0.006	0.79	0.968
33	-1.15	0.0005	0.020	1.06	0.940
34	-1.81	0.0039	0.052	0.47	0.876
35	-0.35	0.0048	0.031	-1.07	0.946
36	-2.28	0.0005	-0.005	1.91	0.854
37	-0.14	0.0015	-0.043	-1.28	0.881
38	-0.18	0.0013	0.023	-0.56	0.972
39	-2.71	-0.0001	-0.001	2.85	0.844
40	0.22	0.0046	-0.020	-2.08	0.931

Tabela 3: Modelo 3

Idade	Cte c(1)	Salreal c(2)	Des c(3)	GINI c(4)	Drio c(5)	Dsp c(6)
15	-11.36	-0.0167	-0.048	5.26	3.00	2.42
16	-9.99	-0.0153	-0.082	3.84	3.13	2.57
17	-11.04	-0.0038	-0.202	5.51	2.70	2.52
18	-8.88	-0.0042	-0.130	1.95	2.60	2.11
19	-8.31	-0.0027	-0.098	0.74	2.51	1.96
20	-9.76	-0.0017	-0.075	3.26	2.36	1.92
21	-13.50	-0.0027	-0.064	9.68	2.46	2.25
22	-8.10	-0.0017	-0.024	0.03	2.39	1.60
23	-11.09	0.0044	-0.014	3.81	2.34	1.90
24	-10.85	-0.0004	-0.041	4.82	2.24	1.78
25	-11.77	-0.0027	0.016	6.29	2.46	1.93
26	-13.98	0.0001	0.009	9.60	2.19	1.92
27	-11.83	0.0017	0.010	5.70	2.12	1.68
28	-11.81	-0.0012	0.006	6.27	2.12	1.62
29	-12.90	0.0005	-0.018	7.98	2.02	1.70
30	-12.24	0.0007	-0.009	6.70	2.08	1.75
31	-13.43	0.0011	0.019	8.29	2.06	1.81
32	-10.70	0.0038	0.027	2.93	2.05	1.48
33	-14.41	-0.0014	-0.020	10.64	2.08	1.86
34	-11.44	0.0037	0.036	4.11	1.97	1.55
35	-10.99	0.0006	0.053	3.84	2.09	1.58
36	-12.77	0.0031	0.017	6.70	1.91	1.55
37	-15.46	0.0029	0.019	11.03	1.98	1.94
38	-12.74	0.0113	0.012	4.53	1.93	1.78
39	-12.94	-0.0026	0.018	8.00	1.90	1.52
40	-9.88	0.0055	0.044	0.84	1.89	1.29

Tabela 4: Modelo 4

Idade	Cte c(1)	Salreal c(2)	Des c(3)	GINI c(4)	Drio c(5)	Dsp c(6)	Prob(-1) c(7)
15	-7.51	-0.0092	-0.177	2.51	2.16	1.83	0.20
16	-6.21	-0.0042	-0.092	3.96	1.55	1.44	0.47
17	-3.83	-0.0040	-0.077	1.69	1.13	0.92	0.56
18	-6.86	-0.0004	-0.051	3.79	1.45	1.36	0.42
19	-6.85	0.0002	-0.031	3.95	1.40	1.30	0.45
20	-5.36	-0.0003	-0.020	3.49	0.98	0.89	0.57
21	-4.88	0.0020	-0.005	2.65	0.92	0.84	0.63
22	-5.88	-0.0008	0.014	3.98	1.07	0.91	0.57
23	-4.75	0.0003	-0.001	3.07	0.85	0.79	0.65
24	-6.13	0.0005	0.008	4.42	0.92	0.87	0.57
25	-7.45	0.0013	0.024	5.66	1.26	1.18	0.54
26	-4.80	0.0007	-0.014	1.73	0.86	0.68	0.54
27	-6.48	0.0016	0.038	4.51	0.91	0.84	0.58
28	-3.70	0.0008	0.014	1.44	0.68	0.52	0.67
29	-2.13	-0.0010	-0.018	1.54	0.33	0.32	0.82
30	-8.70	0.0030	0.007	5.74	1.33	1.23	0.40
31	-6.80	0.0016	0.004	3.15	1.10	0.94	0.43
32	-5.26	0.0006	0.000	2.84	0.88	0.70	0.58
33	-5.92	-0.0003	0.001	3.81	0.92	0.76	0.55
34	-7.05	0.0025	0.024	3.82	1.00	0.87	0.47
35	-8.02	0.0032	0.010	4.03	1.31	1.16	0.37
36	-7.07	0.0004	-0.014	2.94	1.15	0.81	0.35
37	-8.26	0.0010	-0.027	3.21	1.40	1.10	0.24
38	-4.61	0.0010	0.004	2.35	0.69	0.65	0.65
39	-8.66	-0.0007	0.005	4.89	1.21	0.93	0.29
40	-6.71	0.0033	0.003	1.27	1.23	0.92	0.35

Tabela 5: Modelo 5

Idade	Cte c(1)	Salreal c(2)	Des c(3)	GINI c(4)	Drio c(4)	Dsp c(5)	Prob(-1) c(6)	Ano c(7)
15	-68.34	-0.0070	-0.184	1.74	2.52	2.12	0.07	0.030
16	-38.27	-0.0044	-0.116	3.41	1.96	1.75	0.31	0.016
17	-28.90	-0.0005	-0.097	1.47	1.50	1.22	0.43	0.012
18	-18.90	-0.0011	-0.064	3.80	1.66	1.52	0.34	0.006
19	-61.82	-0.0014	-0.068	2.73	2.05	1.73	0.20	0.027
20	-25.72	-0.0009	-0.033	3.27	1.30	1.12	0.44	0.010
21	-26.38	0.0013	-0.022	2.54	1.28	1.09	0.48	0.010
22	-52.46	-0.0014	-0.012	3.35	1.81	1.40	0.26	0.022
23	-22.85	0.0000	-0.008	2.86	1.15	0.98	0.52	0.009
24	-35.45	0.0002	-0.003	4.04	1.45	1.21	0.35	0.014
25	12.98	0.0015	0.030	5.82	0.97	1.00	0.67	-0.010
26	-25.79	0.0005	-0.014	1.58	1.13	0.84	0.42	0.010
27	-5.65	0.0016	0.038	4.53	0.90	0.84	0.58	0.000
28	-20.42	0.0008	0.012	1.28	0.89	0.64	0.56	0.008
29	-8.11	-0.0010	-0.018	1.46	0.41	0.36	0.78	0.003
30	22.93	0.0031	0.021	6.31	0.97	1.04	0.60	-0.015
31	-15.83	0.0016	0.003	2.97	1.17	0.97	0.39	0.004
32	-10.45	0.0006	-0.001	2.76	0.92	0.72	0.56	0.003
33	-19.10	-0.0005	-0.003	3.58	1.03	0.82	0.48	0.006
34	19.72	0.0031	0.038	4.31	0.70	0.72	0.63	-0.013
35	18.62	0.0036	0.015	4.51	1.10	1.07	0.49	-0.013
36	-20.59	0.0001	-0.015	2.54	1.15	0.78	0.35	0.007
37	-6.35	0.0011	-0.026	3.24	1.39	1.09	0.25	-0.001
38	13.34	0.0015	0.030	2.51	0.64	0.61	0.68	-0.009
39	-11.71	-0.0008	0.000	4.87	1.21	0.93	0.30	0.002
40	17.22	0.0042	0.043	1.18	1.26	0.89	0.34	-0.012

Tabela 6: Modelo 6

Idade	Cte c(1)	Salreal c(2)	Des c(3)	Drio c(4)	Dsp c(5)	Prob(-1) c(6)	Ano c(7)
15	-71.72	-0.0065	-0.187	2.47	1.99	0.08	0.032
16	-50.25	-0.0043	-0.140	2.11	1.70	0.26	0.022
17	-30.18	-0.0044	-0.101	1.48	1.12	0.43	0.013
18	-19.19	0.0000	-0.069	1.52	1.21	0.38	0.007
19	-65.02	-0.0009	-0.075	2.01	1.56	0.20	0.029
20	-27.96	-0.0003	-0.040	1.20	0.88	0.47	0.012
21	-26.40	0.0018	-0.025	1.15	0.87	0.52	0.011
22	-55.98	-0.0009	-0.021	1.75	1.18	0.27	0.025
23	-25.88	0.0005	-0.016	1.10	0.79	0.53	0.011
24	-40.95	0.0008	-0.017	1.40	0.97	0.35	0.018
25	11.73	0.0024	0.014	0.73	0.54	0.76	-0.007
26	-25.20	0.0008	-0.019	1.02	0.68	0.46	0.010
27	-11.01	0.0022	0.024	0.81	0.54	0.60	0.004
28	-20.30	0.0010	0.009	0.82	0.53	0.59	0.008
29	-8.63	-0.0008	-0.022	0.34	0.25	0.81	0.004
30	14.55	0.0043	0.000	0.88	0.66	0.61	-0.009
31	-16.90	0.0021	-0.003	1.03	0.73	0.45	0.006
32	-10.81	0.0010	-0.007	0.77	0.48	0.62	0.004
33	-20.55	0.0001	-0.011	0.88	0.54	0.55	0.008
34	15.30	0.0038	0.027	0.63	0.45	0.65	-0.009
35	17.14	0.0045	0.006	0.89	0.71	0.58	-0.011
36	-22.57	0.0006	-0.021	1.04	0.58	0.39	0.009
37	-6.43	0.0017	-0.034	1.20	0.82	0.34	0.000
38	12.76	0.0020	0.029	0.50	0.39	0.75	-0.008
39	-14.76	0.0003	-0.009	1.14	0.63	0.32	0.005
40	19.07	0.0047	0.042	1.22	0.80	0.36	-0.013

Tabela 7: Modelo 7

Idade	Cte c(1)	Salreal c(2)		Des c(3)		Drio c(4)	Dsp c(5)		Prob(-1) c(6)	
15	-5.68	-0.0088	(**)	-0.181	(**)	2.04	1.59	(**)	0.23	(**)
16	-3.76	-0.0039	(**)	-0.110	(**)	1.52	1.20	(**)	0.47	(**)
17	-2.65	-0.0037	(**)	-0.079	(**)	1.06	0.77	(**)	0.58	(**)
18	-4.19	0.0007	(**)	-0.053	(**)	1.26	1.01	(**)	0.48	(**)
19	-4.17	0.0011	(**)	-0.036	(**)	1.25	0.98	(**)	0.50	(**)
20	-2.84	0.0005	(**)	-0.025	(*)	0.80	0.58	(**)	0.63	(**)
21	-2.89	0.0027	(**)	-0.006	(***)	0.76	0.59	(**)	0.69	(**)
22	-2.98	-0.0001	(**)	0.007	(***)	0.87	0.56	(**)	0.64	(**)
23	-2.50	0.0008	(**)	-0.007	(***)	0.70	0.53	(**)	0.70	(**)
24	-2.89	0.0012	(**)	-0.003	(***)	0.70	0.49	(**)	0.65	(**)
25	-3.16	0.0023	(**)	0.010	(***)	0.95	0.68	(**)	0.66	(**)
26	-3.39	0.0010	(**)	-0.019	(***)	0.73	0.50	(**)	0.58	(**)
27	-3.19	0.0022	(**)	0.026	(*)	0.71	0.48	(**)	0.65	(**)
28	-2.52	0.0010	(**)	0.108	(***)	0.58	0.38	(**)	0.71	(**)
29	-0.90	-0.0008	(***)	-0.021	(***)	0.24	0.19	(***)	0.86	(**)
30	-4.63	0.0042	(**)	-0.008	(***)	1.11	0.80	(**)	0.49	(**)
31	-4.38	0.0021	(**)	-0.003	(***)	0.93	0.67	(**)	0.50	(**)
32	-2.89	0.0010	(**)	-0.006	(***)	0.69	0.43	(**)	0.67	(**)
33	-2.95	0.0040	(**)	-0.005	(***)	0.69	0.43	(**)	0.64	(**)
34	-4.36	0.0032	(**)	0.018	(***)	0.86	0.58	(**)	0.52	(**)
35	-4.83	0.0041	(**)	0.003	(***)	1.08	0.81	(**)	0.47	(**)
36	-4.90	0.0009	(***)	-0.020	(***)	1.01	0.57	(**)	0.41	(**)
37	-5.60	0.0018	(***)	-0.034	(***)	1.19	0.82	(**)	0.34	(**)
38	-2.70	0.0016	(***)	0.006	(***)	0.55	0.44	(**)	0.72	(**)
39	-5.69	0.0005	(***)	0.006	(***)	1.15	0.62	(**)	0.32	(**)
40	-5.79	0.0038	(**)	0.000	(***)	1.18	0.82	(**)	0.37	(*)

(\*) Nível de significância de 5%

(\*\*) Nível de significância de 1%

(\*\*\*) Não significativo

Tabela 8: Modelo 8

Idade	Cte c(1)	Salreal c(2)	Des c(3)	Drio c(4)	Dsp c(5)	Prob(-1) c(6)	INPC c(7)
15	-6.06	-0.0089	-0.183	2.13	1.67	0.20	0.0031
16	-4.24	-0.0037	-0.107	1.63	1.29	0.43	0.0048
17	-2.63	-0.0037	-0.079	1.06	0.77	0.58	-0.0001
18	-4.37	0.0012	-0.047	1.29	1.03	0.47	0.0023
19	-4.19	0.0011	-0.036	1.25	0.98	0.50	0.0002
20	-3.13	0.0011	-0.016	0.84	0.61	0.61	0.0030
21	-3.06	0.0031	0.000	0.78	0.60	0.68	0.0022
22	-3.09	0.0002	0.010	0.88	0.58	0.64	0.0012
23	-2.66	0.0014	0.001	0.71	0.54	0.70	0.0025
24	-3.10	0.0020	0.007	0.71	0.50	0.65	0.0032
25	-3.55	0.0032	0.024	1.00	0.72	0.64	0.0044
26	-3.35	0.0009	-0.020	0.72	0.50	0.59	-0.0004
27	-3.37	0.0035	0.044	0.68	0.47	0.67	0.0053
28	-2.67	0.0014	0.016	0.60	0.39	0.70	0.0016
29	-0.97	-0.0007	-0.019	0.24	0.19	0.86	0.0007
30	-4.97	0.0054	0.011	1.12	0.81	0.49	0.0056
31	-4.59	0.0027	0.006	0.95	0.69	0.49	0.0025
32	-3.24	0.0020	0.007	0.72	0.46	0.65	0.0041
33	-3.46	0.0017	0.012	0.74	0.47	0.62	0.0056
34	-4.84	0.0049	0.039	0.89	0.61	0.51	0.0066
35	-5.19	0.0057	0.025	1.08	0.82	0.47	0.0066
36	-5.20	0.0016	-0.012	1.05	0.60	0.39	0.0025
37	-6.14	0.0032	-0.014	1.24	0.84	0.31	0.0053
38	-3.28	0.0027	0.018	0.63	0.49	0.67	0.0037
39	-5.90	0.0025	0.027	1.11	0.60	0.34	0.0062
40	-5.81	0.0038	0.001	1.18	0.82	0.37	0.0003

Tabela 9: Modelo 9

Idade	Cte c(1)	Salreal c(2)	Des1 c(3)	Drio c(4)	Dsp c(5)	Prob(-1) c(6)
15	-5.91	-0.0031	-0.089	1.84	1.47	0.31
16	-3.70	-0.0004	-0.049	1.33	1.06	0.54
17	-3.24	-0.0025	-0.066	1.18	0.86	0.54
18	-4.65	0.0011	-0.052	1.39	1.10	0.43
19	-5.12	0.0009	-0.069	1.57	1.23	0.37
20	-3.36	0.0005	-0.037	0.96	0.70	0.56
21	-3.28	0.0025	-0.024	0.89	0.69	0.63
22	-3.08	-0.0002	-0.002	0.91	0.60	0.62
23	-2.69	0.0009	-0.014	0.75	0.57	0.68
24	-3.05	0.0013	-0.009	0.74	0.53	0.63
25	-3.44	0.0020	-0.015	1.05	0.77	0.61
26	-3.63	0.0012	-0.018	0.79	0.54	0.56
27	-3.20	0.0019	0.006	0.73	0.51	0.63
28	-2.60	0.0008	-0.004	0.62	0.41	0.69
29	-1.14	-0.0006	-0.019	0.29	0.21	0.84
30	-5.11	0.0042	-0.034	1.24	0.89	0.42
31	-4.62	0.0021	-0.017	1.00	0.72	0.46
32	-3.08	0.0011	-0.012	0.73	0.46	0.64
33	-3.37	0.0003	-0.024	0.80	0.51	0.58
34	-4.26	0.0030	0.013	0.84	0.58	0.53
35	-4.88	0.0041	-0.002	1.09	0.82	0.46
36	-5.15	0.0008	-0.038	1.08	0.62	0.37
37	-6.08	0.0023	-0.011	1.28	0.84	0.30
38	-2.60	0.0016	0.006	0.53	0.43	0.73
39	-5.63	0.0004	-0.005	1.14	0.63	0.32
40	-5.88	0.0039	0.016	1.19	0.81	0.37

Tabela 10: Modelo 10

Idade	Cte c(1)	Salreal c(2)		Des c(3)		GINI c(4)		Drio c(5)	Dsp c(6)		Prob(-1) c(7)		INPC c(8)
15	-7.43	-0.009	(**)	-0.179	(**)	2.20	(***)	2.18	1.83	(**)	0.19	(**)	0.0011
16	-6.07	-0.004	(**)	-0.094	(**)	3.44	(**)	1.59	1.44	(**)	0.45	(**)	0.0018
17	-3.96	-0.004	(**)	-0.079	(**)	2.15	(*)	1.11	0.93	(**)	0.57	(**)	-0.0017
18	-6.95	-0.001	(***)	-0.053	(**)	4.00	(**)	1.45	1.37	(**)	0.42	(**)	-0.0008
19	-7.12	-0.001	(***)	-0.038	(**)	4.81	(**)	1.39	1.33	(**)	0.46	(**)	-0.0033
20	-5.30	0.000	(***)	-0.018	(***)	3.32	(**)	0.98	0.88	(**)	0.57	(**)	0.0006
21	-4.84	0.002	(*)	-0.004	(***)	2.56	(**)	0.92	0.84	(**)	0.63	(**)	0.0003
22	-6.05	-0.001	(***)	0.010	(***)	4.45	(**)	1.06	0.93	(**)	0.58	(**)	-0.0019
23	-4.70	0.000	(**)	0.000	(***)	2.97	(**)	0.85	0.78	(**)	0.65	(**)	0.0004
24	-6.13	0.000	(***)	0.008	(***)	4.42	(**)	0.92	0.87	(**)	0.57	(**)	0.0000
25	-7.40	0.001	(***)	0.025	(*)	5.54	(**)	1.26	1.18	(**)	0.54	(**)	0.0005
26	-5.03	0.000	(***)	-0.019	(***)	2.23	(*)	0.87	0.71	(**)	0.53	(**)	-0.0019
27	-6.11	0.002	(*)	0.044	(**)	3.90	(**)	0.87	0.79	(**)	0.59	(**)	0.0022
28	-3.61	0.001	(***)	0.016	(***)	1.24	(***)	0.67	0.50	(**)	0.67	(**)	0.0008
29	-2.18	-0.001	(***)	-0.019	(***)	1.65	(***)	0.33	0.33	(*)	0.82	(**)	-0.0004
30	-8.54	0.003	(**)	0.011	(***)	5.42	(**)	1.32	1.20	(**)	0.41	(**)	0.0012
31	-6.74	0.002	(***)	0.006	(***)	3.02	(**)	1.10	0.93	(**)	0.43	(**)	0.0005
32	-4.91	0.001	(***)	0.007	(***)	2.16	(*)	0.85	0.65	(**)	0.59	(**)	0.0026
33	-5.53	0.001	(***)	0.010	(***)	2.89	(**)	0.89	0.70	(**)	0.56	(**)	0.0037
34	-6.53	0.004	(**)	0.038	(***)	2.58	(*)	0.98	0.80	(**)	0.48	(**)	0.0049
35	-7.21	0.005	(**)	0.023	(***)	2.69	(**)	1.23	1.04	(**)	0.40	(**)	0.0045
36	-7.04	0.001	(***)	-0.012	(***)	2.78	(*)	1.15	0.80	(**)	0.35	(**)	0.0007
37	-7.71	0.002	(***)	-0.015	(***)	2.08	(***)	1.36	1.02	(**)	0.26	(**)	0.0038
38	-4.43	0.002	(***)	0.013	(***)	1.64	(***)	0.70	0.62	(**)	0.64	(**)	0.0025
39	-8.24	0.001	(***)	0.017	(***)	4.01	(**)	1.18	0.86	(**)	0.31	(**)	0.0033
40	-6.82	0.003	(***)	0.000	(***)	1.49	(***)	1.24	0.93	(**)	0.34	(*)	-0.0008

(\*) Nível de significância de 5%

(\*\*) Nível de significância de 1%

(\*\*\*) Não significativo

**Tabela 11: Modelo 11**

<b>Idade</b>	<b>Cte c(1)</b>	<b>Sal*Des c(2)</b>	<b>Drio c(3)</b>	<b>Dsp c(4)</b>	<b>Prob(-1) c(5)</b>	<b>GINI c(6)</b>	<b>INPC c(7)</b>
<b>15</b>	-6.65	-0.0012	1.436	1.32	0.47	3.06	-0.0007
<b>16</b>	-5.66	0.0002	1.168	1.15	0.63	4.15	0.0012
<b>17</b>	-3.47	-0.0014	0.796	0.65	0.69	2.08	-0.0006
<b>18</b>	-6.40	0.0013	1.252	1.16	0.50	3.52	0.0008
<b>19</b>	-6.83	0.0005	1.258	1.20	0.52	4.59	-0.0021
<b>20</b>	-5.18	0.0005	0.924	0.83	0.60	3.21	0.0013
<b>21</b>	-4.84	0.0023	0.913	0.83	0.63	2.55	0.0004
<b>22</b>	-6.08	-0.0016	1.087	0.95	0.56	4.47	-0.0021
<b>23</b>	-4.71	0.0004	0.850	0.79	0.65	2.97	0.0003
<b>24</b>	-6.14	0.0003	0.936	0.89	0.56	4.42	-0.0003
<b>25</b>	-7.42	0.0007	1.300	1.22	0.51	5.56	-0.0005
<b>26</b>	-5.13	0.0008	0.864	0.70	0.54	2.24	-0.0012
<b>27</b>	-6.22	0.0010	0.955	0.87	0.54	4.00	0.0002
<b>28</b>	-3.57	0.0006	0.688	0.52	0.66	1.24	0.0001
<b>29</b>	-2.26	-0.0006	0.322	0.31	0.83	1.65	0.0004
<b>30</b>	-8.60	0.0032	1.352	1.24	0.39	5.42	0.0006
<b>31</b>	-6.74	0.0016	1.104	0.94	0.42	3.03	0.0002
<b>32</b>	-4.92	0.0012	0.862	0.66	0.58	2.17	0.0022
<b>33</b>	-5.61	0.0004	0.914	0.73	0.54	2.94	0.0032
<b>34</b>	-6.81	0.0028	1.072	0.88	0.41	2.75	0.0033
<b>35</b>	-7.44	0.0039	1.296	1.10	0.36	2.85	0.0033
<b>36</b>	-7.09	0.0009	1.147	0.79	0.35	2.78	0.0011
<b>37</b>	-7.85	0.0028	1.376	1.02	0.25	2.03	0.0042
<b>38</b>	-4.45	0.0015	0.704	0.64	0.63	1.81	0.0021
<b>39</b>	-8.12	0.0001	1.160	0.87	0.32	4.14	0.0028
<b>40</b>	-6.78	0.0030	1.231	0.93	0.35	1.51	-0.0009

### Apêndice 3: Teste de Robustez dos Coeficientes

#### 3.1 : Modelo 7

**Tabela 1: Variável Salário**

Idade	Cte c(1)	(*)	Des c(3)	(*)	Drio c(4)	(*)	Dsp c(5)	(*)	Prob(-1) c(6)	(*)
15	-5.12	-5.68	-0.103	-0.181	1.46	2.04	1.23	1.59	0.40	0.23
16	-3.21	-3.76	-0.080	-0.110	1.15	1.52	0.95	1.20	0.58	0.47
17	-2.61	-2.65	-0.061	-0.079	0.87	1.06	0.68	0.77	0.64	0.58
18	-3.93	-4.19	-0.061	-0.053	1.21	1.26	0.96	1.01	0.49	0.48
19	-3.95	-4.17	-0.053	-0.036	1.24	1.25	0.97	0.98	0.50	0.50
20	-2.64	-2.84	-0.038	-0.025	0.75	0.80	0.55	0.58	0.64	0.63
21	-2.63	-2.89	-0.027	-0.006	0.81	0.76	0.60	0.59	0.67	0.69
22	-2.73	-2.98	-0.009	0.007	0.78	0.87	0.52	0.56	0.66	0.64
23	-2.36	-2.50	-0.022	-0.007	0.70	0.70	0.54	0.53	0.70	0.70
24	-2.25	-2.89	-0.019	-0.003	0.56	0.70	0.39	0.49	0.70	0.65
25	-2.52	-3.16	-0.007	0.010	0.86	0.95	0.60	0.68	0.69	0.66
26	-3.09	-3.39	-0.034	-0.019	0.69	0.73	0.48	0.50	0.60	0.58
27	-2.65	-3.19	-0.0001	0.026	0.66	0.71	0.45	0.48	0.67	0.65
28	-2.36	-2.52	0.009	0.108	0.56	0.58	0.34	0.38	0.71	0.71
29	-1.13	-0.90	-0.024	-0.021	0.25	0.24	0.21	0.19	0.84	0.86
30	-3.68	-4.63	-0.023	-0.008	1.02	1.11	0.68	0.80	0.54	0.49
31	-3.61	-4.38	-0.016	-0.003	0.80	0.93	0.56	0.67	0.55	0.50
32	-2.61	-2.89	-0.024	-0.006	0.66	0.69	0.43	0.43	0.68	0.67
33	-2.58	-2.95	-0.028	-0.005	0.63	0.69	0.42	0.43	0.67	0.64
34	-3.92	-4.36	-0.008	0.018	0.87	0.86	0.57	0.58	0.52	0.52
35	-4.65	-4.83	-0.012	0.003	1.19	1.08	0.82	0.81	0.43	0.47
36	-4.74	-4.90	-0.024	-0.020	1.01	1.01	0.56	0.57	0.41	0.41
37	-5.32	-5.60	-0.044	-0.034	1.19	1.19	0.80	0.82	0.34	0.34
38	-2.41	-2.70	-0.003	0.006	0.54	0.55	0.42	0.44	0.72	0.72
39	-5.62	-5.69	0.002	0.006	1.15	1.15	0.62	0.62	0.32	0.32
40	-5.56	-5.79	-0.018	0.000	1.25	1.18	0.84	0.82	0.34	0.37

(\*) Valores referentes aos coeficientes estimados do modelo 7, incluindo todas as variáveis

**Tabela 2: Variável Desemprego**

Idade	Cte c(1)	(*)	Salreal c(2)	(*)	Drio c(4)	(*)	Dsp c(5)	(*)	Prob(-1) c(6)	(*)
15	-4.64	-5.68	-0.0009	-0.0088	1.34	2.04	1.05	1.59	0.48	0.23
16	-2.77	-3.76	0.0010	-0.0039	0.99	1.52	0.77	1.20	0.67	0.47
17	-2.09	-2.65	-0.0012	-0.0037	0.72	1.06	0.47	0.77	0.71	0.58
18	-3.79	-4.19	0.0020	0.0007	1.05	1.26	0.81	1.01	0.57	0.48
19	-3.95	-4.17	0.0018	0.0011	1.13	1.25	0.86	0.98	0.55	0.50
20	-2.67	-2.84	0.0010	0.0005	0.71	0.80	0.49	0.58	0.67	0.63
21	-2.84	-2.89	0.0028	0.0027	0.74	0.76	0.57	0.59	0.70	0.69
22	-3.03	-2.98	-0.0002	-0.0001	0.89	0.87	0.58	0.56	0.63	0.64
23	-2.47	-2.50	0.0009	0.0008	0.68	0.70	0.51	0.53	0.71	0.70
24	-2.87	-2.89	0.0013	0.0012	0.69	0.70	0.48	0.49	0.66	0.65
25	-3.20	-3.16	0.0021	0.0023	0.97	0.95	0.71	0.68	0.64	0.66
26	-3.41	-3.39	0.0013	0.0010	0.71	0.73	0.48	0.50	0.60	0.58
27	-3.28	-3.19	0.0019	0.0022	0.76	0.71	0.53	0.48	0.62	0.65
28	-2.55	-2.52	0.0008	0.0010	0.60	0.58	0.40	0.38	0.70	0.71
29	-0.89	-0.90	-0.0005	-0.0008	0.21	0.24	0.15	0.19	0.88	0.86
30	-4.58	-4.63	0.0043	0.0042	1.09	1.11	0.78	0.80	0.50	0.49
31	-4.37	-4.38	0.0021	0.0021	0.92	0.93	0.66	0.67	0.50	0.50
32	-2.87	-2.89	0.0011	0.0010	0.68	0.69	0.42	0.43	0.67	0.67
33	-2.91	-2.95	0.0005	0.0040	0.67	0.69	0.41	0.43	0.65	0.64
34	-4.49	-4.36	0.0029	0.0032	0.91	0.86	0.62	0.58	0.49	0.52
35	-4.85	-4.83	0.0041	0.0041	1.09	1.08	0.82	0.81	0.47	0.47
36	-4.90	-4.90	0.0013	0.0009	0.99	1.01	0.54	0.57	0.43	0.41
37	-6.01	-5.60	0.0025	0.0018	1.25	1.19	0.82	0.82	0.32	0.34
38	-2.68	-2.70	0.0015	0.0016	0.55	0.55	0.44	0.44	0.71	0.72
39	-5.62	-5.69	0.0004	0.0005	1.14	1.15	0.62	0.62	0.32	0.32
40	-5.79	-5.79	0.0038	0.0038	1.18	1.18	0.82	0.82	0.37	0.37

(\*) Valores referentes aos coeficientes estimados do modelo 7, incluindo todas as variáveis

Tabela 3: Variável Probabilidade Defasada

Idade	Cte c(1)	(*)	Salreal c(2)	(*)	Des c(3)	(*)	Drio c(4)	(*)	Dsp c(5)	(*)
15	-7.49	-5.68	-0.0126	-0.0088	-0.25	-0.18	2.75	2.04	2.14	1.59
16	-7.20	-3.76	-0.0108	-0.0039	-0.24	-0.11	2.84	1.52	2.23	1.20
17	-7.16	-2.65	-0.0084	-0.0037	-0.20	-0.08	2.73	1.06	2.13	0.77
18	-7.80	-4.19	-0.0025	0.0007	-0.13	-0.05	2.56	1.26	2.04	1.01
19	-7.96	-4.17	-0.0010	0.0011	-0.10	-0.04	2.53	1.25	1.97	0.98
20	-7.71	-2.84	-0.0016	0.0005	-0.09	-0.02	2.41	0.80	1.81	0.58
21	-7.91	-2.89	-0.0001	0.0027	-0.09	-0.01	2.39	0.76	1.80	0.59
22	-7.96	-2.98	-0.0009	-0.0001	-0.06	0.01	2.39	0.87	1.69	0.56
23	-8.02	-2.50	-0.0001	0.0008	-0.06	-0.01	2.35	0.70	1.68	0.53
24	-8.06	-2.89	0.0008	0.0012	-0.05	0.00	2.21	0.70	1.56	0.49
25	-8.26	-3.16	0.0018	0.0023	-0.04	0.01	2.37	0.95	1.67	0.68
26	-8.06	-3.39	0.0006	0.0010	-0.04	-0.02	2.12	0.73	1.44	0.50
27	-8.34	-3.19	0.0022	0.0022	-0.01	0.03	2.07	0.71	1.39	0.48
28	-8.27	-2.52	0.0018	0.0010	-0.02	0.11	2.04	0.58	1.35	0.38
29	-7.89	-0.90	0.0001	-0.0008	-0.05	-0.02	1.97	0.24	1.30	0.19
30	-8.41	-4.63	0.0040	0.0042	-0.05	-0.01	2.05	1.11	1.41	0.80
31	-8.37	-4.38	0.0028	0.0021	-0.03	0.00	1.94	0.93	1.32	0.67
32	-8.29	-2.89	0.0017	0.0010	-0.04	-0.01	1.98	0.69	1.29	0.43
33	-7.92	-2.95	-0.0006	0.0040	-0.06	-0.01	1.96	0.69	1.24	0.43
34	-8.27	-4.36	0.0016	0.0032	-0.03	0.02	1.88	0.86	1.21	0.58
35	-8.45	-4.83	0.0030	0.0041	-0.03	0.00	1.94	1.08	1.34	0.81
36	-8.25	-4.90	0.0012	0.0009	-0.03	-0.02	1.84	1.01	1.11	0.57
37	-8.45	-5.60	0.0019	0.0018	-0.03	-0.03	1.84	1.19	1.17	0.82
38	-8.68	-2.70	0.0020	0.0016	0.00	0.01	1.89	0.55	1.25	0.44
39	-8.45	-5.69	0.0004	0.0005	0.02	0.01	1.80	1.15	1.02	0.62
40	-8.98	-5.79	0.0035	0.0038	0.03	0.00	1.88	1.18	1.17	0.82

(\*) Valores referentes aos coeficientes estimados do modelo 7, incluindo todas as variáveis

Tabela 4: Variáveis Dummies

Idade	Cte c(1)	(*)	Salreal c(2)	(*)	Des c(3)	(*)	Prob(-1) c(6)	(*)
15	-1.63	-5.68	-0.0003	-0.0088	-0.052	-0.181	0.68	0.23
16	-0.42	-3.76	0.0028	-0.0039	-0.005	-0.110	0.89	0.47
17	-0.29	-2.65	-0.0001	-0.0037	-0.034	-0.079	0.88	0.58
18	-1.22	-4.19	0.0034	0.0007	-0.001	-0.053	0.84	0.48
19	-1.10	-4.17	0.0031	0.0011	0.004	-0.036	0.87	0.50
20	-0.56	-2.84	0.0013	0.0005	-0.006	-0.025	0.91	0.63
21	-0.86	-2.89	0.0038	0.0027	0.021	-0.006	0.94	0.69
22	-0.57	-2.98	0.0015	-0.0001	0.023	0.007	0.95	0.64
23	-0.49	-2.50	0.0010	0.0008	0.008	-0.007	0.94	0.70
24	-0.80	-2.89	0.0017	0.0012	0.008	-0.003	0.90	0.65
25	-0.29	-3.16	0.0028	0.0023	0.028	0.010	1.01	0.66
26	-1.27	-3.39	0.0014	0.0010	-0.014	-0.019	0.84	0.58
27	-0.90	-3.19	0.0025	0.0022	0.036	0.026	0.93	0.65
28	-0.52	-2.52	0.0011	0.0010	0.016	0.108	0.95	0.71
29	-0.07	-0.90	-0.0012	-0.0008	-0.017	-0.021	0.95	0.86
30	-0.97	-4.63	0.0043	0.0042	0.025	-0.008	0.93	0.49
31	-1.31	-4.38	0.0015	0.0021	0.015	-0.003	0.85	0.50
32	-0.37	-2.89	0.0013	0.0010	-0.002	-0.006	0.97	0.67
33	-0.58	-2.95	0.0013	0.0040	0.011	-0.005	0.94	0.64
34	-1.57	-4.36	0.0043	0.0032	0.048	0.018	0.88	0.52
35	-1.06	-4.83	0.0045	0.0041	0.036	0.003	0.93	0.47
36	-1.23	-4.90	0.0017	0.0009	-0.026	-0.020	0.85	0.41
37	-1.03	-5.60	0.0010	0.0018	-0.034	-0.034	0.85	0.34
38	-0.56	-2.70	0.0010	0.0016	0.027	0.006	0.96	0.72
39	-1.09	-5.69	0.0012	0.0005	-0.049	0.006	0.83	0.32
40	-0.54	-5.79	0.0035	0.0038	0.023	0.000	1.00	0.37

(\*) Valores referentes aos coeficientes estimados do modelo 7, incluindo todas as variáveis



### 3.2: Modelo 10

**Tabela 1: Variável Salário**

Idade	Cte c(1)	(*)	Des c(3)	(*)	Gini c(4)	(*)	Drio c(5)	(*)	Dsp c(6)	(*)	Prob(-1) c(7)	(*)	INPC c(8)	(*)
15	-6.71	-7.43	-0.088	-0.179	1.47	2.20	1.68	2.18	1.49	1.83	0.35	0.19	0.0013	0.0011
16	-5.67	-6.07	-0.052	-0.094	3.21	3.44	1.33	1.59	1.26	1.44	0.54	0.45	0.0021	0.0018
17	-3.48	-3.96	-0.046	-0.079	1.17	2.15	0.92	1.11	0.77	0.93	0.63	0.57	0.0001	-0.0017
18	-6.83	-6.95	-0.049	-0.053	3.78	4.00	1.42	1.45	1.34	1.37	0.43	0.42	-0.0004	-0.0008
19	-7.04	-7.12	-0.035	-0.038	4.59	4.81	1.37	1.39	1.31	1.33	0.46	0.46	-0.0029	-0.0033
20	-5.28	-5.30	-0.017	-0.018	3.27	3.32	0.98	0.98	0.88	0.88	0.57	0.57	0.0007	0.0006
21	-5.27	-4.84	-0.015	-0.004	3.33	2.56	1.02	0.92	0.93	0.84	0.60	0.63	-0.0011	0.0003
22	-5.95	-6.05	0.015	0.010	4.07	4.45	1.04	1.06	0.91	0.93	0.58	0.58	-0.0010	-0.0019
23	-5.14	-4.70	-0.001	0.000	3.37	2.97	0.93	0.85	0.86	0.78	0.60	0.65	0.0001	0.0004
24	-6.18	-6.13	0.006	0.008	4.57	4.42	0.93	0.92	0.88	0.87	0.57	0.57	-0.0003	0.0000
25	-7.52	-7.40	0.019	0.025	5.97	5.54	1.28	1.26	1.20	1.18	0.53	0.54	-0.0005	0.0005
26	-5.05	-5.03	-0.019	-0.019	2.30	2.23	0.87	0.87	0.71	0.71	0.53	0.53	-0.0020	-0.0019
27	-6.34	-6.11	0.035	0.044	4.59	3.90	0.92	0.87	0.83	0.79	0.58	0.59	0.0006	0.0022
28	-3.64	-3.61	0.012	0.016	1.53	1.24	0.68	0.67	0.51	0.50	0.67	0.67	0.0000	0.0008
29	-2.16	-2.18	-0.014	-0.019	1.32	1.65	0.33	0.33	0.32	0.33	0.82	0.82	0.0004	-0.0004
30	-8.84	-8.54	-0.003	0.011	6.51	5.42	1.38	1.32	1.26	1.20	0.39	0.41	-0.0012	0.0012
31	-6.81	-6.74	0.000	0.006	3.56	3.02	1.11	1.10	0.95	0.93	0.43	0.43	-0.0007	0.0005
32	-4.98	-4.91	0.002	0.007	2.58	2.16	0.87	0.85	0.66	0.65	0.59	0.59	0.0016	0.0026
33	-5.62	-5.53	0.007	0.010	3.12	2.89	0.90	0.89	0.72	0.70	0.55	0.56	0.0032	0.0037
34	-7.11	-6.53	0.018	0.038	3.84	2.58	1.09	0.98	0.89	0.80	0.43	0.48	0.0021	0.0049
35	-8.27	-7.21	0.003	0.023	4.46	2.69	1.42	1.23	1.20	1.04	0.32	0.40	0.0012	0.0045
36	-7.05	-7.04	-0.014	-0.012	2.95	2.78	1.15	1.15	0.80	0.80	0.35	0.35	0.0003	0.0007
37	-7.99	-7.71	-0.029	-0.015	2.96	2.08	1.40	1.36	1.07	1.02	0.24	0.26	0.0021	0.0038
38	-4.53	-4.43	0.000	0.013	2.33	1.64	0.70	0.70	0.65	0.62	0.64	0.64	0.0012	0.0025
39	-8.29	-8.24	0.013	0.017	4.19	4.01	1.19	1.18	0.87	0.86	0.31	0.31	0.0029	0.0033
40	-7.46	-6.82	-0.016	0.000	2.70	1.49	1.33	1.24	1.04	0.93	0.30	0.34	-0.0029	-0.0008

(\*) Valores referentes aos coeficientes estimados do modelo 10, incluindo todas as variáveis

**Tabela 2: Variável Desemprego**

Idade	Cte c(1)	(*)	Salreal c(2)	(*)	Gini c(4)	(*)	Drio c(5)	(*)	Dsp c(6)	(*)	Prob(-1) c(7)	(*)	INPC c(8)	(*)
15	-7.00	-7.43	-0.001	-0.009	2.93	2.20	1.58	2.18	1.35	1.83	0.42	0.19	-0.0001	0.0011
16	-5.69	-6.07	0.000	-0.004	4.20	3.44	1.15	1.59	1.13	1.44	0.62	0.45	0.0014	0.0018
17	-3.55	-3.96	-0.002	-0.004	2.22	2.15	0.80	1.11	0.65	0.93	0.68	0.57	-0.0009	-0.0017
18	-6.46	-6.95	0.001	-0.001	3.67	4.00	1.25	1.45	1.17	1.37	0.50	0.42	0.0007	-0.0008
19	-6.95	-7.12	0.000	-0.001	4.73	4.81	1.28	1.39	1.21	1.33	0.51	0.46	-0.0023	-0.0033
20	-5.20	-5.30	0.000	0.000	3.27	3.32	0.93	0.98	0.83	0.88	0.59	0.57	0.0012	0.0006
21	-4.80	-4.84	0.002	0.002	2.54	2.56	0.91	0.92	0.82	0.84	0.64	0.63	0.0004	0.0003
22	-6.94	-6.05	-0.001	-0.001	4.46	4.45	1.09	1.06	0.96	0.93	0.56	0.58	-0.0022	-0.0019
23	-4.70	-4.70	0.000	0.000	2.96	2.97	0.85	0.85	0.78	0.78	0.65	0.65	0.0004	0.0004
24	-6.14	-6.13	0.000	0.000	4.41	4.42	0.93	0.92	0.89	0.87	0.56	0.57	-0.0003	0.0000
25	-7.40	-7.40	0.001	0.001	5.51	5.54	1.30	1.26	1.22	1.18	0.51	0.54	-0.0004	0.0005
26	-5.15	-5.03	0.001	0.000	2.29	2.23	0.87	0.87	0.70	0.71	0.54	0.53	-0.0012	-0.0019
27	-6.19	-6.11	0.001	0.002	3.91	3.90	0.95	0.87	0.87	0.79	0.54	0.59	0.0004	0.0022
28	-3.57	-3.61	0.001	0.001	1.21	1.24	0.69	0.67	0.52	0.50	0.66	0.67	0.0002	0.0008
29	-2.26	-2.18	-0.001	-0.001	1.69	1.65	0.32	0.33	0.31	0.33	0.83	0.82	0.0002	-0.0004
30	-8.58	-8.54	0.003	0.003	5.42	5.42	1.35	1.32	1.23	1.20	0.39	0.41	0.0008	0.0012
31	-6.74	-6.74	0.002	0.002	3.02	3.02	1.10	1.10	0.94	0.93	0.42	0.43	0.0003	0.0005
32	-4.91	-4.91	0.001	0.001	2.17	2.16	0.86	0.85	0.66	0.65	0.59	0.59	0.0023	0.0026
33	-5.59	-5.53	0.000	0.001	2.91	2.89	0.91	0.89	0.73	0.70	0.54	0.56	0.0033	0.0037
34	-6.59	-6.53	0.003	0.004	2.57	2.58	0.99	0.98	0.86	0.80	0.43	0.48	0.0035	0.0049
35	-7.34	-7.21	0.004	0.005	2.77	2.69	1.28	1.23	1.09	1.04	0.37	0.40	0.0036	0.0045
36	-7.09	-7.04	0.001	0.001	2.78	2.78	1.15	1.15	0.79	0.80	0.36	0.35	0.0011	0.0007
37	-7.88	-7.71	0.003	0.002	2.04	2.08	1.38	1.36	1.02	1.02	0.25	0.26	0.0042	0.0038
38	-4.44	-4.43	0.002	0.002	1.76	1.64	0.70	0.70	0.64	0.62	0.63	0.64	0.0022	0.0025
39	-8.11	-8.24	0.000	0.001	4.11	4.01	1.16	1.18	0.87	0.86	0.32	0.31	0.0029	0.0033
40	-6.83	-6.82	0.003	0.003	1.49	1.49	1.24	1.24	0.93	0.93	0.34	0.34	-0.0008	-0.0008

(\*) Valores referentes aos coeficientes estimados do modelo 10, incluindo todas as variáveis

Tabela 3: Variável Gini

Idade	Cte c(1)	(*)	Salreal c(2)	(*)	Des c(3)	(*)	Drio c(5)	(*)	Dsp c(6)	(*)	Prob(-1) c(7)	(*)	INPC c(8)	(*)
15	-6.06	-7.43	-0.009	-0.009	-0.183	-0.179	2.13	2.18	1.67	1.83	0.20	0.19	0.0031	0.0011
16	-4.24	-6.07	-0.004	-0.004	-0.107	-0.094	1.63	1.59	1.29	1.44	0.43	0.45	0.0048	0.0018
17	-2.64	-3.96	-0.004	-0.004	-0.079	-0.079	1.06	1.11	0.77	0.93	0.58	0.57	-0.0001	-0.0017
18	-4.37	-6.95	0.001	-0.001	-0.047	-0.053	1.29	1.45	1.03	1.37	0.47	0.42	0.0023	-0.0008
19	-4.21	-7.12	0.001	-0.001	-0.036	-0.038	1.26	1.39	0.98	1.33	0.49	0.46	0.0002	-0.0033
20	-3.13	-5.30	0.001	0.000	-0.016	-0.018	0.84	0.98	0.61	0.88	0.61	0.57	0.0030	0.0006
21	-3.06	-4.84	0.003	0.002	0.000	-0.004	0.78	0.92	0.60	0.84	0.68	0.63	0.0022	0.0003
22	-3.09	-6.05	0.000	-0.001	0.010	0.010	0.88	1.06	0.58	0.93	0.64	0.58	0.0012	-0.0019
23	-2.66	-4.70	0.001	0.000	0.001	0.000	0.70	0.85	0.53	0.78	0.70	0.65	0.0026	0.0004
24	-3.02	-6.13	0.002	0.000	0.007	0.008	0.71	0.92	0.50	0.87	0.64	0.57	0.0033	0.0000
25	-3.55	-7.40	0.003	0.001	0.024	0.025	1.00	1.26	0.72	1.18	0.64	0.54	0.0045	0.0005
26	-3.36	-5.03	0.001	0.000	-0.020	-0.019	0.72	0.87	0.50	0.71	0.59	0.53	-0.0004	-0.0019
27	-3.37	-6.11	0.003	0.002	0.044	0.044	0.68	0.87	0.47	0.79	0.67	0.59	0.0053	0.0022
28	-2.65	-3.61	0.001	0.001	0.016	0.016	0.61	0.67	0.39	0.50	0.70	0.67	0.0016	0.0008
29	-0.97	-2.18	-0.001	-0.001	-0.019	-0.019	0.25	0.33	0.19	0.33	0.86	0.82	0.0007	-0.0004
30	-4.99	-8.54	0.005	0.003	0.011	0.011	1.13	1.32	0.81	1.20	0.48	0.41	0.0056	0.0012
31	-4.59	-6.74	0.003	0.002	0.006	0.006	0.95	1.10	0.68	0.93	0.49	0.43	0.0026	0.0005
32	-3.23	-4.91	0.002	0.001	0.007	0.007	0.72	0.85	0.46	0.65	0.65	0.59	0.0041	0.0026
33	-3.47	-5.53	0.002	0.001	0.011	0.010	0.74	0.89	0.47	0.70	0.61	0.56	0.0056	0.0037
34	-4.84	-6.53	0.005	0.004	0.039	0.038	0.89	0.98	0.61	0.80	0.51	0.48	0.0066	0.0049
35	-5.18	-7.21	0.006	0.005	0.025	0.023	1.09	1.23	0.81	1.04	0.47	0.40	0.0066	0.0045
36	-5.21	-7.04	0.002	0.001	-0.012	-0.012	1.05	1.15	0.60	0.80	0.39	0.35	0.0025	0.0007
37	-6.15	-7.71	0.003	0.002	-0.014	-0.015	1.24	1.36	0.84	1.02	0.31	0.26	0.0053	0.0038
38	-3.28	-4.43	0.003	0.002	0.018	0.013	0.63	0.70	0.49	0.62	0.67	0.64	0.0037	0.0025
39	-5.90	-8.24	0.002	0.001	0.027	0.017	1.11	1.18	0.60	0.86	0.34	0.31	0.0062	0.0033
40	-5.81	-6.82	0.004	0.003	0.001	0.000	1.18	1.24	0.82	0.93	0.37	0.34	0.0003	-0.0008

(\*) Valores referentes aos coeficientes estimados do modelo 10, incluindo todas as variáveis

Tabela 4: Variáveis Dummies

Idade	Cte c(1)	(*)	Salreal c(2)	(*)	Des c(3)	(*)	Gini c(4)	(*)	Prob(-1) c(7)	(*)	INPC c(8)	(*)
15	-2.13	-7.43	-0.001	-0.009	-0.055	-0.179	1.11	2.20	0.68	0.19	-0.0038	0.0011
16	-1.44	-6.07	0.001	-0.004	0.004	-0.094	1.73	3.44	0.87	0.45	0.0008	0.0018
17	-1.08	-3.96	-0.002	-0.004	-0.031	-0.079	1.76	2.15	0.87	0.57	-0.0034	-0.0017
18	-1.62	-6.95	0.003	-0.001	0.005	-0.053	0.68	4.00	0.83	0.42	0.0004	-0.0008
19	-1.71	-7.12	0.002	-0.001	0.007	-0.038	1.38	4.81	0.86	0.46	-0.0026	-0.0033
20	-1.55	-5.30	0.001	0.000	0.007	-0.018	1.28	3.32	0.88	0.57	0.0009	0.0006
21	-0.99	-4.84	0.004	0.002	0.026	-0.004	0.09	2.56	0.94	0.63	0.0014	0.0003
22	-1.76	-6.05	0.000	-0.001	0.035	0.010	2.24	4.45	0.94	0.58	-0.0016	-0.0019
23	-0.69	-4.70	0.001	0.000	0.016	0.000	0.14	2.97	0.94	0.65	0.0022	0.0004
24	-1.55	-6.13	0.001	0.000	0.025	0.008	1.10	4.42	0.89	0.57	0.0021	0.0000
25	-1.11	-7.40	0.003	0.001	0.045	0.025	1.13	5.54	0.99	0.54	0.0024	0.0005
26	-1.25	-5.03	0.001	0.000	-0.018	-0.019	0.10	2.23	0.84	0.53	-0.0014	-0.0019
27	-1.57	-6.11	0.003	0.002	0.060	0.044	0.71	3.90	0.93	0.59	0.0051	0.0022
28	-0.63	-3.61	0.001	0.001	0.020	0.016	0.09	1.24	0.95	0.67	0.0008	0.0008
29	-0.08	-2.18	-0.001	-0.001	-0.016	-0.019	-0.02	1.65	0.95	0.82	0.0003	-0.0004
30	-1.55	-8.54	0.005	0.003	0.046	0.011	0.54	5.42	0.93	0.41	0.0047	0.0012
31	-1.12	-6.74	0.002	0.002	0.018	0.006	-0.49	3.02	0.85	0.43	0.0018	0.0005
32	-0.88	-4.91	0.002	0.001	0.014	0.007	0.55	2.16	0.96	0.59	0.0031	0.0026
33	-1.29	-5.53	0.002	0.001	0.032	0.010	0.75	2.89	0.93	0.56	0.0043	0.0037
34	-1.83	-6.53	0.006	0.004	0.069	0.038	-0.16	2.58	0.87	0.48	0.0061	0.0049
35	-0.35	-7.21	0.007	0.005	0.043	0.023	-0.89	2.69	0.94	0.40	0.0080	0.0045
36	-2.32	-7.04	0.000	0.001	-0.010	-0.012	1.93	2.78	0.84	0.35	-0.0006	0.0007
37	-0.22	-7.71	0.004	0.002	-0.030	-0.015	-1.87	2.08	0.87	0.26	0.0058	0.0038
38	-0.22	-4.43	0.003	0.002	0.029	0.013	-0.92	1.64	0.97	0.64	0.0035	0.0025
39	-2.88	-8.24	0.002	0.001	0.004	0.017	2.44	4.01	0.82	0.31	0.0049	0.0033
40	0.23	-6.82	0.006	0.003	-0.017	0.000	-2.27	1.49	0.94	0.34	0.0022	-0.0008

(\*) Valores referentes aos coeficientes estimados do modelo 10, incluindo todas as variáveis

Tabela 5: Variável INPC

Idade	Cte c(1)	(*)	Salreal c(2)	(*)	Des c(3)	(*)	Gini c(4)	(*)	Drio c(5)	(*)	Dsp c(6)	(*)	Prob(-1) c(7)	(*)
15	-7.52	-7.43	-0.009	-0.009	-0.178	-0.179	2.51	2.20	2.16	2.18	1.83	1.83	0.20	0.19
16	-6.22	-6.07	-0.004	-0.004	-0.092	-0.094	3.97	3.44	1.55	1.59	1.44	1.44	0.46	0.45
17	-3.83	-3.96	-0.004	-0.004	-0.077	-0.079	1.69	2.15	1.13	1.11	0.92	0.93	0.56	0.57
18	-6.86	-6.95	0.000	-0.001	0.051	-0.053	3.79	4.00	1.45	1.45	1.36	1.37	0.42	0.42
19	-6.85	-7.12	0.000	-0.001	-0.031	-0.038	3.95	4.81	1.40	1.39	1.30	1.33	0.45	0.46
20	-5.36	-5.30	0.000	0.000	-0.020	-0.018	3.49	3.32	0.98	0.98	0.89	0.88	0.57	0.57
21	-4.88	-4.84	0.002	0.002	-0.005	-0.004	2.65	2.56	0.92	0.92	0.84	0.84	0.63	0.63
22	-5.88	-6.05	-0.001	-0.001	0.014	0.010	3.98	4.45	1.07	1.06	0.91	0.93	0.57	0.58
23	-4.75	-4.70	0.000	0.000	-0.001	0.000	3.07	2.97	0.85	0.85	0.79	0.78	0.65	0.65
24	-6.13	-6.13	0.000	0.000	0.008	0.008	4.42	4.42	0.92	0.92	0.87	0.87	0.57	0.57
25	-7.45	-7.40	0.001	0.001	0.024	0.025	5.66	5.54	1.26	1.26	1.18	1.18	0.54	0.54
26	-4.79	-5.03	0.001	0.000	-0.014	-0.019	1.73	2.23	0.86	0.87	0.68	0.71	0.54	0.53
27	-6.48	-6.11	0.002	0.002	0.038	0.044	4.51	3.90	0.91	0.87	0.84	0.79	0.58	0.59
28	-3.70	-3.61	0.001	0.001	0.014	0.016	1.44	1.24	0.68	0.67	0.52	0.50	0.67	0.67
29	-2.13	-2.18	-0.001	-0.001	-0.018	-0.019	1.54	1.65	0.33	0.33	0.32	0.33	0.82	0.82
30	-8.70	-8.54	0.003	0.003	0.007	0.011	5.74	5.42	1.33	1.32	1.23	1.20	0.40	0.41
31	-6.80	-6.74	0.002	0.002	0.004	0.006	3.15	3.02	1.10	1.10	0.94	0.93	0.43	0.43
32	-5.26	-4.91	0.001	0.001	0.000	0.007	2.85	2.16	0.88	0.85	0.70	0.65	0.58	0.59
33	-5.92	-5.53	0.000	0.001	0.001	0.010	3.81	2.89	0.90	0.89	0.76	0.70	0.55	0.56
34	-7.05	-6.53	0.002	0.004	0.024	0.038	3.82	2.58	1.00	0.98	0.87	0.80	0.47	0.48
35	-8.01	-7.21	0.003	0.005	0.010	0.023	4.02	2.69	1.31	1.23	1.15	1.04	0.37	0.40
36	-7.08	-7.04	0.000	0.001	-0.014	-0.012	2.95	2.78	1.15	1.15	0.81	0.80	0.35	0.35
37	-8.26	-7.71	0.001	0.002	-0.027	-0.015	3.21	2.08	1.40	1.36	1.10	1.02	0.24	0.26
38	-4.61	-4.43	0.001	0.002	0.004	0.013	2.34	1.64	0.69	0.70	0.65	0.62	0.65	0.64
39	-8.66	-8.24	-0.001	0.001	0.005	0.017	4.89	4.01	1.21	1.18	0.93	0.86	0.29	0.31
40	-6.71	-6.82	0.003	0.003	0.003	0.000	1.27	1.49	1.23	1.24	0.92	0.93	0.35	0.34

(\*) Valores referentes aos coeficientes estimados do modelo 10, incluindo todas as variáveis

Tabela 6: Variáveis Gini e Dummies

Idade	Cte c(1)	(*)	Salreal c(2)	(*)	Des c(3)	(*)	Prob(-1) c(7)	(*)	INPC c(8)	(*)
15	-1.54	-7.43	0.000	-0.009	-0.055	-0.179	0.69	0.19	-0.0027	0.0011
16	-0.54	-6.07	0.003	-0.004	0.000	-0.094	0.88	0.45	0.0024	0.0018
17	-0.18	-3.96	0.000	-0.004	-0.040	-0.079	0.88	0.57	-0.0020	-0.0017
18	-1.28	-6.95	0.004	-0.001	0.002	-0.053	0.84	0.42	0.0010	-0.0008
19	-1.02	-7.12	0.003	-0.001	0.000	-0.038	0.87	0.46	-0.0015	-0.0033
20	-0.90	-5.30	0.002	0.000	0.001	-0.018	0.89	0.57	0.0020	0.0006
21	-0.95	-4.84	0.004	0.002	0.025	-0.004	0.94	0.63	0.0015	0.0003
22	-0.59	-6.05	0.002	-0.001	0.024	0.010	0.95	0.58	0.0003	-0.0019
23	-0.61	-4.70	0.002	0.000	0.016	0.000	0.94	0.65	0.0023	0.0004
24	-0.97	-6.13	0.002	0.000	0.019	0.008	0.90	0.57	0.0030	0.0000
25	-0.49	-7.40	0.004	0.001	0.039	0.025	1.00	0.54	0.0033	0.0005
26	-1.19	-5.03	0.001	0.000	-0.018	-0.019	0.84	0.53	-0.0013	-0.0019
27	-1.19	-6.11	0.004	0.002	0.056	0.044	0.93	0.59	0.0057	0.0022
28	-0.58	-3.61	0.001	0.001	0.019	0.016	0.95	0.67	0.0009	0.0008
29	-0.09	-2.18	-0.001	-0.001	-0.016	-0.019	0.95	0.82	0.0003	-0.0004
30	-1.26	-8.54	0.005	0.003	0.044	0.011	0.93	0.41	0.0052	0.0012
31	-1.39	-6.74	0.002	0.002	0.020	0.006	0.85	0.43	0.0014	0.0005
32	-0.57	-4.91	0.002	0.001	0.011	0.007	0.97	0.59	0.0036	0.0026
33	-0.88	-5.53	0.002	0.001	0.028	0.010	0.93	0.56	0.0049	0.0037
34	-1.92	-6.53	0.006	0.004	0.070	0.038	0.87	0.48	0.0060	0.0049
35	-1.41	-7.21	0.006	0.005	0.058	0.023	0.92	0.40	0.0065	0.0045
36	-1.29	-7.04	0.002	0.001	-0.023	-0.012	0.85	0.35	0.0009	0.0007
37	-1.33	-7.71	0.002	0.002	-0.019	-0.015	0.84	0.26	0.0044	0.0038
38	-0.76	-4.43	0.002	0.002	0.364	0.013	0.96	0.64	0.0028	0.0025
39	-1.50	-8.24	0.003	0.001	-0.024	0.017	0.84	0.31	0.0068	0.0033
40	-1.14	-6.82	0.004	0.003	0.009	0.000	0.91	0.34	0.0077	-0.0008

(\*) Valores referentes aos coeficientes estimados do modelo 10, incluindo todas as variáveis

**Tabela 7: Variáveis Salário e Desemprego**

<b>Idade</b>	<b>Cte c(1)</b>	<b>(*)</b>	<b>Gini c(4)</b>	<b>(*)</b>	<b>Drio c(5)</b>	<b>(*)</b>	<b>Dsp c(6)</b>	<b>(*)</b>	<b>Prob(-1) c(7)</b>	<b>(*)</b>	<b>INPC c(8)</b>	<b>(*)</b>
15	-6.81	-7.43	2.76	2.20	1.46	2.18	1.33	1.83	0.45	0.19	-1.2E-05	0.0011
16	-5.67	-6.07	4.17	3.44	1.14	1.59	1.12	1.44	0.62	0.45	0.0014	0.0018
17	-3.38	-3.96	1.66	2.15	0.77	1.11	0.63	0.93	0.69	0.57	-0.0001	-0.0017
18	-6.64	-6.95	4.05	4.00	1.28	1.45	1.19	1.37	0.49	0.42	0.0002	-0.0008
19	-6.98	-7.12	4.84	4.81	1.28	1.39	1.22	1.33	0.51	0.46	-0.0024	-0.0033
20	-5.25	-5.30	3.39	3.32	0.93	0.98	0.84	0.88	0.59	0.57	0.0010	0.0006
21	-5.20	-4.84	3.39	2.56	0.98	0.92	0.89	0.84	0.62	0.63	-0.0009	0.0003
22	-6.00	-6.05	3.98	4.45	1.08	1.06	0.94	0.93	0.56	0.58	-0.0012	-0.0019
23	-4.75	-4.70	3.11	2.97	0.86	0.85	0.79	0.78	0.65	0.65	0.0001	0.0004
24	-6.17	-6.13	4.52	4.42	0.94	0.92	0.89	0.87	0.56	0.57	-0.0005	0.0000
25	-7.48	-7.40	5.80	5.54	1.31	1.26	1.22	1.18	0.51	0.54	-0.0009	0.0005
26	-5.25	-5.03	2.52	2.23	0.88	0.87	0.71	0.71	0.54	0.53	-0.0016	-0.0019
27	-6.32	-6.11	4.33	3.90	0.97	0.87	0.88	0.79	0.54	0.59	-0.0003	0.0022
28	-3.59	-3.61	1.43	1.24	0.69	0.67	0.52	0.50	0.66	0.67	-0.0003	0.0008
29	-2.24	-2.18	1.45	1.65	0.32	0.33	0.31	0.33	0.83	0.82	0.0007	-0.0004
30	-8.83	-8.54	6.53	5.42	1.37	1.32	1.26	1.20	0.40	0.41	-0.0012	0.0012
31	-6.81	-6.74	3.56	3.02	1.11	1.10	0.95	0.93	0.43	0.43	-0.0007	0.0005
32	-4.98	-4.91	2.56	2.16	0.87	0.85	0.67	0.65	0.59	0.59	0.0016	0.0026
33	-5.65	-5.53	3.07	2.89	0.92	0.89	0.73	0.70	0.54	0.56	0.0030	0.0037
34	-7.14	-6.53	3.71	2.58	1.13	0.98	0.92	0.80	0.40	0.48	0.0018	0.0049
35	-8.27	-7.21	4.43	2.69	1.42	1.23	1.20	1.04	0.32	0.40	0.0011	0.0045
36	-7.13	-7.04	3.09	2.78	1.14	1.15	0.79	0.80	0.36	0.35	0.0006	0.0007
37	-8.53	-7.71	3.24	2.08	1.47	1.36	1.10	1.02	0.21	0.26	0.0025	0.0038
38	-4.53	-4.43	2.33	1.64	0.70	0.70	0.65	0.62	0.64	0.64	0.0011	0.0025
39	-8.13	-8.24	4.17	4.01	1.16	1.18	0.87	0.86	0.32	0.31	0.0028	0.0033
40	-7.85	-6.82	2.79	1.49	1.40	1.24	1.06	0.93	0.27	0.34	-0.0028	-0.0008

(\*) Valores referentes aos coeficientes estimados do modelo 10, incluindo todas as variáveis

## ***Apêndice 4: Descrição das Variáveis***

### *Variáveis Econômicas:*

#### - Taxa de desemprego:

Taxa de desemprego aberto em cada Região metropolitana calculado pelo Instituto Brasileiro de Geografia e Estatística através dos dados obtidos na Pesquisa Mensal de Emprego.

Conceito: pessoas que efetivamente procuraram emprego nos últimos 30 dias e não exerceram nenhum trabalho nos últimos 07 dias.

#### - Rendimento

Índice do Rendimento Médio Real no Trabalho principal por Região metropolitana da população ocupada. Deflator utilizado: Índice Nacional de Preços ao consumidor. Base do Índice jul/94=100. Dados disponíveis a partir do ano de 1982.

Fonte: Instituto Brasileiro de Geografia e Estatística – Pesquisa Mensal de Emprego.

Dados coletados da Revista Conjuntura Econômica da Fundação Getúlio Vargas – Dez 97 e Nov/98.

#### - Índice Nacional de Preços ao Consumidor

Variação Mensal acumulada anualmente para o Brasil.

Fonte: Instituto Brasileiro de Geografia e Estatística

Dados coletado da Revista Conjuntura Econômica da Fundação Getúlio Vargas (vários anos).

#### - Coeficiente de Gini

Índice calculado para as Unidades da Federação baseado em dados da Pesquisa Nacional de Amostra Domiciliar do Instituto Brasileiro de Geografia e Estatística.

Para os anos de 1991 e 1994 o índice foi interpolado linearmente.

Dados fornecidos pela equipe de pesquisa do professor Ricardo Paes e Barros (IPEA/RJ).

### *Variáveis de Família:*

#### - Escolaridade

Nível de anos de estudos médio da população economicamente ativa das unidades da federação calculados com base na Pesquisa Nacional de Amostra Domiciliar - PNAD

Para os anos de 1991, 1994 e 1997 as informações foram interpoladas linearmente.

#### - Taxa de Domicílios com Chefes do Sexo Feminino

Número de domicílios cuja pessoa de referência é do sexo feminino/número de domicílios permanentes total

Fonte: Pesquisa Nacional de Amostra Domiciliar/IBGE (1981/1997). Para os anos de 1991 e 1994 os dados foram interpolados linearmente.

#### - Probabilidade de Morte

Os dados de probabilidade de morte foram calculados segundo as técnicas usuais de demografia utilizando a base de dados sobre mortalidade disponibilizada (SIM) pela Fundação Nacional de Saúde através do Datasus<sup>26</sup>. Para os estados de São Paulo e Minas Gerais foram utilizados apenas os registros de morte por homicídio e no estado do Rio de Janeiro foram utilizados os registros de mortes por homicídio e mortes por outras violências. Estes grupos correspondem aos seguintes códigos: homicídios e lesões

---

<sup>26</sup> Como estimamos a probabilidade de morte para a população acima dos dez anos podemos utilizar a

fórmula de cálculo básica da construção da tábua de vida, isto é:  $q_x = \frac{D_x}{pop_x + 0.5 \times D_x}$ . Onde  $q_x$  é a

probabilidade de morrer em determinada idade específica,  $D_x$  corresponde ao número de mortes em determinado ano e em determinada idade e  $pop_x$  corresponde à população residente naquele ano em determinada idade.

provocadas intencionalmente – CID9 9600-9699 e na CID 10 X850-Y099; outras violências: CID9 9700-9999 e na CID10 Y100-Y369.

O elevado número de homicídios classificados como outras violências no estado do Rio de Janeiro parece ser um problema com as bases de dados de atestado de óbito neste estado. Para contornar esta dificuldade padronizamos as mortes por acidente no estado do Rio de Janeiro, incluídas no grupo outras violências, de acordo com a distribuição do estado de São Paulo. A categoria outras violências inclui mortes ocasionadas em sete circunstâncias: lesões por intervenção legal, lesões de guerra, envenenamentos, enforcamentos, lesões devido a queda, lesões de intencionalidade ignorada causadas com armas de fogo e armas brancas e lesões através de meios não especificados. Os dois primeiros grupos apresentam registro praticamente nulo nos dois estados. O grupo dos envenenamentos, enforcamentos e lesões devido a queda constituem o grupo das mortes causadas por acidente. São precisamente os dois últimos subitens que apresentam a maior participação na probabilidade de morte associada a esta categoria no Rio de Janeiro em quase todos os anos. Carneiro e Phebo (1998) encontram o mesmo problema ao utilizar essa base de dados. Eles supõem que todas as mortes provocadas por armas de fogo teriam sido homicídios, as mortes provocadas por objetos cortantes teriam sido acidentais, e 50% das demais causas cuja intencionalidade é ignorada seriam homicídios. A comparação da série temporal do Rio de Janeiro com a série de São Paulo revela o, relativo, reduzido volume de registros de morte na categoria outras violências em São Paulo, onde seu peso na probabilidade de morte raramente ultrapassa 1% ao longo de todo o período. Esse resultado sugere a existência de um problema de mensuração estado-específico. Como os índices de homicídio em São Paulo são relativamente altos e estáveis, não sugerindo uma eventual sub-enumeração maior neste caso do que no Rio de Janeiro, o problema parece se encontrar no estado do Rio de Janeiro. Fizemos, então, a seguinte simulação. Supusemos que a participação dos homicídios no total das causas *homicídios e outras violências* no Rio de Janeiro fosse, em cada ano, para cada idade e sexo, idêntica à obtida em São Paulo. Nossa hipótese é que as mortes acidentais correspondem a um evento aleatório de igual distribuição no Rio e em São Paulo, sendo, porém, correlacionadas com o nível de homicídios. Tendo por base essa hipótese, estimamos a probabilidade de morte por homicídio para os três estados segundo as técnicas demográficas usuais. Os dados de população residente foram obtidos através de uma expansão *log-linear* dos dados de população para cada idade dos anos censitários, isto é, 1980 e 1991 e da contagem populacional de 1996.

Para os estados do Rio de Janeiro, São Paulo e Minas Gerais, a subenumeração de óbitos contabilizada pelo IBGE é relativamente pequena e a perda de informação decorrente da base de dados utilizada alcança em média 7% do universo global.

## Apêndice 5: Gráficos

